

รายการอ้างอิง

ภาษาไทย

- กิติพงษ์ วัตนาภรณ์. การแยกใบต้นออกจากการผลิตมะขามโดยใช้เครื่องกรองชนิดหมุนได้,
วิทยานิพนธ์ปริญญามหาบัณฑิต สาขาวิชาศวกรรรมเคมี คณะวิศวกรรมศาสตร์
จุฬาลงกรณ์มหาวิทยาลัย, 2544.
- โภศล จริงสูงเนิน. การเตรียมน้ำยาหางสตด. วารสารยางพารา, 2528.
- พิรภัทร์ แสงทองชาย และรุ่ปภรณ์ บุญส่งสวัสดิ์. ผลของการทดลองของขี้เป็นตามระดับความสูงของบ่อปรับคุณภาพต่ออัตราการผลิตน้ำยาหางขัน, ชีเนียร์ปีรเจคปริญญา
วิศวกรรมศาสตร์บัณฑิต สาขาวิชาศวกรรรมเคมี คณะวิศวกรรมศาสตร์ จุฬาลงกรณ์
มหาวิทยาลัย, 2547.
- ณัชวัฒน์ พloyวัฒนาวงศ์ ผลของตัวแปรต่อการเกิดตะกอนขี้เป็นในน้ำยาหางสตด., ชีเนียร์ปีรเจค
ปริญญาวิศวกรรมศาสตร์บัณฑิต สาขาวิชาศวกรรรมเคมี คณะวิศวกรรมศาสตร์
จุฬาลงกรณ์มหาวิทยาลัย, 2550.
- บุญธรรม นิธิอุทัย และคณะ. เทคโนโลยีน้ำยาหางขัน, หน้า 1-3. คณะวิทยาศาสตร์และเทคโนโลยี
มหาวิทยาลัยสงขลานครินทร์, 2539.
- ปราณี กิตติอมงค์. การประยุกต์ใช้ไมโครฟิลเตอร์ชั้นในกระบวนการกำจัดความชื้นออกจากสเปนท์
ริวเวอร์ยีสต์, วิทยานิพนธ์ปริญญามหาบัณฑิต สาขาวิชาศวกรรรมเคมี คณะ
วิศวกรรมศาสตร์ จุฬาลงกรณ์มหาวิทยาลัย, 2543.
- พงษ์ธร แซ่คุย. ยาง: ชนิด สมบัติ และการใช้งาน. กรุงเทพมหานคร: ศูนย์เทคโนโลยีโลหะและวัสดุ
แห่งชาติ, 2547.
- พรพรรณ นิธิอุทัย. ยาง: เทคนิคการออกสูตร. ภาควิชาเทคโนโลยียางและพอลิเมอร์ คณะ
วิทยาศาสตร์และเทคโนโลยี มหาวิทยาลัยสงขลานครินทร์ วิทยาเขตปัตตานี, 2540.
- วรรณี ขาวไรย์กุล. การผลิตยางธรรมชาติ. กรุงเทพมหานคร: ศูนย์วิจัยและพัฒนาผลิตภัณฑ์
ยาง สถาบันวิจัยยาง, 2531.
- เวท ไถ่นุกูล. การผลิตและการควบคุมคุณภาพยาง, หน้า 3. กรุงเทพมหานคร: สถาบันวิจัยยาง,
2532.
- เสาวนีษ์ ก่ออุณิกุลรังสี. การผลิตยางธรรมชาติ, หน้า 67-77. คณะวิทยาศาสตร์และเทคโนโลยี
มหาวิทยาลัยสงขลานครินทร์ วิทยาเขตปัตตานี, 2547.

สุขุม ภูมิรินทร์ราถุล. การประยุกต์ใช้เทคนิคไดอะฟิลเตอร์ชั้นและคอนเซนเตրชั้นเพื่อแยกโปรตีนออกจากผงเนื้อในเมล็ดมะขามโดยใช้เครื่องกรองชนิดหมุนได้. วิทยานิพนธ์ปริญญา
มหาบัณฑิต สาขาวิชาศึกษากรรมเคมี คณะวิศวกรรมศาสตร์ จุฬาลงกรณ์มหาวิทยาลัย,
2544.

สรศักดิ์ สุทธิสิงค์. วิทยาศาสตร์ของน้ำยางธรรมาวดี. ในเอกสารประกอบการสัมมนาเชิง
ปฏิบัติการ, หน้า 5, 7-9. ณ สถาบันวิจัยยาง, 2532.

ภาษาอังกฤษ

Andersen Ole. And Bogaard Svend Erik. A cheese-like product. a process of its preparation and the use thereof. E.P. Patent., 1988.

Anne S. et al. Concentration and desalination of fish gelatin by ultrafiltration and continuous diafiltration process. Desalination 144, 2002: 313-318.

Blackley, D.C. Polymer latexes. New York: Science and technology (2nd Ed.), Chapman & Hall, 1966.

Edmond P. et.al., Investigation of how agitation during precipitation, and subsequent processing affects the particle size distribution and separation of α -lactalbumin enriched whey protein precipitates. Biochemical Engineering Journal 10(August 2001): 17-25.

Edmond P. et.al., Influence of shear on particle size and fractal dimension of whey protein precipitates: implications for scale-up and centrifugal clarification efficiency. Chemical Engineering Science 57(July 2002): 3767-3779.

IRSG Rubber statistical Bulletin. World production of NR, vol 62, March/April, 2008.

John C.K. A Novel Method of Stabilising Hevea Latex. J. Rubb. Inst. Malaysia, 24(2), 1974, p.111.

Kanyawarak K. In vitro rubber Biosynthesis from fresh bottom fraction: Formation of polypropenol and rubber. A master thesis in Department of Polymer science and Technology Thailand; Faculty of Science, Mahidol University, 2005.

Kazunori N. et.al. Application of a Rotating Ceramic Membrane to Dense Cell Culture. J.Ferment.Bioeng 76 (1993):49-54.

- Larry S. Desalting and Buffer Exchange by Dialysis, Gel filtration or Diafiltration. Life Science pn 33290, USA, 2003.
- Pakianathan,S.W., Boatman,S.G. and Taysum,D.H. particle aggregation following dilution of Hevea latex : A possible mechanism for the closure of latex vessels after tapping. J.Rub.Res.Inst.Malaya 19 (1966): 259.
- Richard H. et.al. Anti-Fouling Mechanism in Rotating Filtration. 12 th International Couette Taylor Workshop, September pp.6-8, USA, 2001.
- Sakdapipanich J., Suksujaritporn S and Tanaka Y Structural Characterisation of the Small Rubber Particles in Fresh Hevea Latex, J. Rubb. Res. (2) 1999:160-168
- Southorn, W.A. Physiology on Hevea (latex-flow). J. Rubber Res. Inst. Malaya 21(1969): 494-512.
- Tangpakdee J. Structure Characterization of Natural Rubber : Analysis of Biosynthesis Mechanism, Braching Formation and Role of Rubber in Hevea tree. PhD Thesis on Engineering submitted to the Tokyo University of Agriculture and Technology. Japan, 1998.
- Tanja K et.al. Protein Transmission During Dean Vortex Microfiltration of Yeast Suspension. J.Biotech.Bioeng 65 (1999): 649-658.
- Veerasamy D. et.al. Environment Friendly Natural Rubber Latex Concentration by Membrane Separation Technology. The Fifth International Membrane Science and Technology Conference (IMSTEC 03) 10-14 November 2003. Sydney, Australia.pp 1-6.
- Woo C.H. Rubber Coagulation by Enzymes of Hevea Brasiliensis Latex. J. Rubb. Res. Inst. Malaysia 23(5), 1973, p.323.
- Yip E. and Gomez J.B. Stability of Fresh Hevea Latex in Relation to latex Vessel Plugging. Proc. Inst. Rubber. Conf. Kuala Lumpur, Rubber Res. Inst. Malaysia, 1975.

ภาคผนวก

ภาคผนวก ก

การวิเคราะห์

1. การทดสอบความหนืด (Determination of Viscosity)

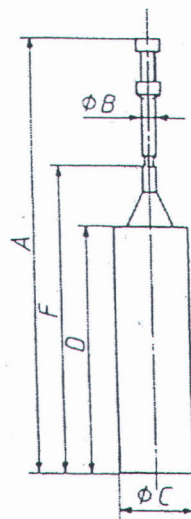
เครื่องมือ/อุปกรณ์

1. เครื่องวัดความหนืด (viscometer) ประกอบด้วยมอเตอร์ไฟฟ้า มีเพลาขับเคลื่อนแห่งกวนรูปทรงและมิติที่เหมาะสม (รูปที่ 3.4 และ 3.5 ตารางที่ 3.1) ประกอบติดเข้ากับเพลา หมุนได้ด้วยความเร็วคงที่ ซึ่งทำให้เกิดแรงที่สมดุลกับสเกลและเข็มวัดบนหน้าปัดที่สองเทียบหน่วยจาก 0 ถึง 100 เพื่อบ่งชี้ความหนืด สามารถเลือกใช้เครื่องวัดความหนืดได้สองแบบ

1.1 แบบ L ใช้วัดความหนืดได้ถึง 2000 มิลลิปานาล*วินาที (mPa^*s) หรือ 2000 เชนติพอยล์

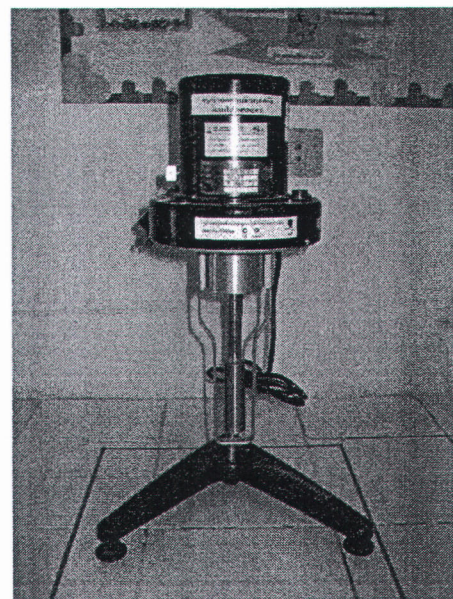
1.2 แบบ R ใช้ความหนืดสูงกว่า 200 มิลลิปานาล*วินาที หรือ 200 เชนติพอยล์

ในการทดลองนี้ได้ใช้เข็มวัดความหนืดแบบ L1



รูปที่ ก 1 เข็มวัดความหนืดแบบ L1

2. บีกเกอร์ (beaker) แก้วปริมาตรไม่น้อยกว่า 600 ลูกบาศก์เซนติเมตร และเส้นผ่าศูนย์กลางภายในไม่น้อยกว่า 85 มิลลิเมตร



รูปที่ ก 2 เครื่องวัดความหนืด

ตารางที่ ก 1 มิติของแท่งกวาน (หน่วย; มิลลิเมตร)

แบบแท่งกวาน	A \pm 1.3	B \pm 0.03	C \pm 0.03	D \pm 0.06	E \pm 1.3	F \pm 0.15
L1	115.1	3.18	18.84	65.10	-	81.0
L2	115.1	3.18	18.72	6.86	25.4	50.0
L3	115.1	3.18	12.70	1.65	25.4	50.0
R1	133.3	3.18	56.26	22.48	27.0	61.1
R2	133.3	3.18	46.93	1.57	27.0	49.2
R3	133.3	3.18	34.69	1.65	27.0	49.2

วิธีการทดลอง

1. เหตัวอย่างทดสอบประมาณ 500 ลูกบาศก์เซนติเมตรในบีกเกอร์
2. เลือกแท่งกวานหมายเลขต่ำสุด ประกอบเข้ากับมอเตอร์เพลาขับเคลื่อน ประกอบเครื่องป้องกัน (guard) เข้ากับโครงมอเตอร์ของเครื่องวัดความหนืด
3. จุ่มแท่งกวานและเครื่องป้องกัน ให้ระดับผิวน้ำตัวอย่างทดสอบอยู่ต่ำกว่าระดับของแท่งกวาน กะระยะให้แท่งกวานอยู่ต่ำกว่าระดับของบีกเกอร์ และอยู่ในแนวตั้ง
4. เลือกความเร็วรอบของเครื่องวัดความหนืดสองแบบ ดังนี้
 - 4.1 แบบ L: ใช้ความเร็ว 60 รอบ/นาที \pm 0.2 รอบ/นาที
 - 4.2 แบบ R: ใช้ความเร็ว 20 รอบ/นาที \pm 0.2 รอบ/นาที

5. เปิดสวิตซ์มอเตอร์ให้แห่งกวนหมุน อาจใช้เวลาประมาณ 20 วินาที – 30 วินาที ก่อน เกิดความสมดุล ให้ปั๊บติดตามคำแนะนำนำวิธีการใช้เครื่องในการอ่านค่าสเกล

การคำนวณ

คำนวณค่าความหนืดของตัวอย่างทดสอบเป็นหน่วยมิลลิปาสคัล*วินาที หรือ เช่นติ พอยส์ โดยคูณค่าที่ได้ด้วยแฟคเตอร์ที่สอดคล้องกับแบบของแห่งกวนในตารางที่ 3.2

ตารางที่ ก 2 แฟคเตอร์ของแห่งกวน

แบบแห่งกวน	แฟคเตอร์
L1	1
L2 หรือ R1	5
L3 หรือ R2	20
R3	50

*** ในที่นี้ได้ทำการทดลองทำความหนืดโดยใช้แห่งกวนแบบ L1 ***

ผลการวัดได้ค่าความหนืดของน้ำยางวด คือ 11.2 เช่นติพอยส์

2. การทดสอบความหนาแน่น

เครื่องมือ/อุปกรณ์

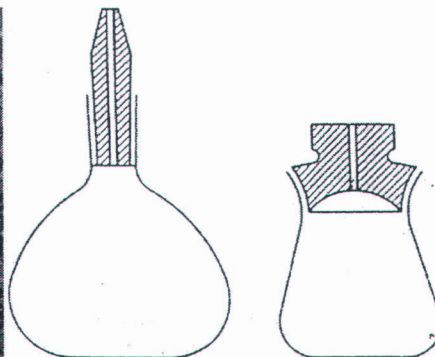
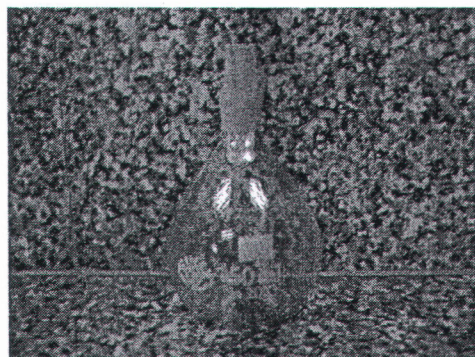
- อุปกรณ์พื้นฐานในห้องปฏิบัติการ
- ขวดความหนาแน่น (density bottle) (พิคโนมิเตอร์, pyknometer) ความจุ 50 ลูกบาศก์เซนติเมตร พร้อมจุกแก้วที่มีหักกลวงเล็ก (รูปที่ 3.6)
- เครื่องชั่งแบบวิเคราะห์ (analytical balance) อ่านได้ละเอียด 1 มิลลิกรัม (0.001 กรัม)

วิธีการทดลอง

- ชั่งขวดความหนาแน่นเปล่าพร้อมจุก บันทึกน้ำหนัก
- เติมน้ำยางวดให้ล้นขวด จากนั้นปิดด้วยจุกแก้วโดยไม่ให้มีอากาศอยู่ข้างใน เช็คภายนอกให้สะอาด นำไปชั่งน้ำหนัก
- เทน้ำยางวดทิ้ง และทำความสะอาดขวดด้วยน้ำกลั่น

4. เติมน้ำกลันให้ล้นขวด จนนั้นปิดด้วยจุกแก้วโดยไม่ให้มีอากาศอยู่ข้างใน เท็ดภายนอก
ให้สะอาด นำไปปั้งน้ำหนัก

5. นำค่าที่ได้จาก 2. มาหาร 4. จะได้ความถ่วงจำเพาะของน้ำยา



รูปที่ ก 3 ขวดความหนาแน่น

*** การทดลองหาความหนาแน่นของน้ำยางนี้ กำหนดให้ความหนาแน่นของน้ำคือ 1 g/cm^3 ***
ผลการวัดได้ค่าความถ่วงจำเพาะของน้ำยางสตด คือ 0.9756 หรือประมาณ 975.6 กิโลกรัมต่ำ^๑
ลูกบาศก์เมตร

3. การหาปริมาณความเป็นด่างในน้ำยางสตด

หลักการ

ไตราน้ำยางซึ่งมีสารช่วยน้ำยางคงตัว (stabilizer) ออยด์วาย ให้ได้ค่า pH 6 โดยใช้สารเคมี
แสดงการเปลี่ยนสี (indicator) คือ เมทธิลเรด (methyl red) คำนวณค่าความเป็นด่างจากปริมาณ
กรดที่ใช้ในการไตราน

สารเคมี/อุปกรณ์

กำหนดให้ใช้น้ำกลันหรือน้ำบริสุทธิ์เทียบเท่าน้ำกลันในทุกขั้นตอนที่มีการใช้น้ำ

1. สารละลายช่วยให้น้ำยางคงตัว สารละลาย 5% (m/m) ของสารช่วยให้น้ำยางคงตัว
พอก non-ionic เช่น ethylene oxide condensate ก่อนใช้ต้องปรับ pH ของสารละลายนี้ให้เป็น
 6.0 ± 0.1

สารเคมีต่อไปนี้ต้องใช้สารเคมีชนิดที่ใช้สำหรับการวิเคราะห์คุณภาพ

2. กรดซัลฟูริกหรือกรดเกลือ (HCl) ความเข้มข้น 0.05 M

3. เมทธิลเรด (Methyl red) ทำเป็นสารละลายน้ำ 0.1% ในเอทานอล 95%
4. glass electrode ชนิดซึ่งเหมาะสมที่จะใช้กับสารละลายน้ำ pH สูงถึง 12.0 ได้

วิธีการทดลอง

เติมน้ำประมาณ 200 มิลลิลิตรลงในบีกเกอร์ขนาด 500 มิลลิลิตร เติมสารละลายน้ำ ให้แน่น้ำอย่างคงตัว ลงไป 10 มิลลิลิตร เขย่าให้เข้ากัน แล้วเติมน้ำยาางตัวอย่างที่ต้องการทดสอบลงไป 5 – 10 กรัม ให้ทำโดยแบ่งน้ำยาางตัวอย่างบรรจุในขวดรูปทรงพู่ขนาด 50 มิลลิลิตร ปิดปากขวดให้สนิท นำไปปั๊งให้ละเอียดถึง 10 มิลลิกรัม แล้วเทน้ำยาางจากขวดรูปทรงพู่ลงในบีกเกอร์ที่เตรียมน้ำผึ้ง สารช่วยให้น้ำยาางคงตัวไว้ ชั้นขวดรูปทรงพู่อีกครั้งหนึ่ง น้ำหนักน้ำยาางที่ใช้ทดสอบได้จากการตั้งของ การชั่งครั้งที่ 1 และ ครั้งที่ 2 เขย่า�้ำยาางให้เข้ากันดีกับน้ำแล้วนำไปปั๊ดเดรท

ได้เดรทโดยใช้เมทธิลเรดเป็นตัวสังเกตจุดยุติ (indicator) เติมเมทธิลเรด 3 – 5 หยด ลงในน้ำยาางที่เตรียมไว้ ในภาวะที่น้ำยาางเป็นต่างเมทธิลเรดจะมีสีเหลือง เขย่า�้ำยาางเบาๆ และ สม่ำเสมอด้วยแท่งแก้วขณะที่เติมสารละลายน้ำตามมาตรฐานกรดซัลฟูริก หรือกรดเกลือจากบิวเวต ตรวจสอบหาจุดยุติ โดยคอยเติมเมทธิลเรด ครั้งละ 1 – 2 หยด ลงในน้ำยาาง เพื่อสังเกตสีของเมทธิลเรดในระหว่างการเติมสารละลายน้ำตามมาตรฐาน จุดยุติคือจุดที่สังเกตเห็นเมทธิลเรดมีสีชมพู บันทึกปริมาตรกรดที่ใช้ไปตั้งแต่เริ่มต้นจนถึงจุดยุติ

การคำนวณผล

คิดเทียบจากจำนวนกรัมของแอมโมเนีย (NH_3) ต่อน้ำยาาง 1 กรัม ดังนี้

$$\text{ความเป็นต่าง} (\text{NH}_3 \text{ ต่อน้ำหนักน้ำยาาง}) = \frac{(17 \times N \times V)}{(W \times 1000)} \quad \dots \dots \dots \quad (1)$$

เมื่อ N คือ นอร์มอลิติของสารละลายน้ำตามมาตรฐาน

V คือ ปริมาตรเป็นมิลลิลิตรของกรดที่ใช้

W คือ น้ำหนักเป็นกรัมของตัวอย่างน้ำยาาง

จากนั้นจึงคำนวนหาปริมาณสารละลายน้ำแอมโมเนียที่ใช้เติม ในที่นี่กำหนดมาตรฐาน ปริมาณแอมโมเนียที่ละลายอยู่ในน้ำยาางสัดจะต้องมีค่าเท่ากับ 0.0045 กรัม NH_3 ต่อกิโลกรัมน้ำยาาง สด และสารละลายน้ำแอมโมเนียที่ใช้มีปริมาณน้ำหนัก NH_3 ต่อน้ำหนักสารละลายน้ำเท่ากับ 0.16 กรัม NH_3 ต่อกิโลกรัมสารละลายน้ำ ดังนั้นสูตรการคำนวนจึงเป็นดังนี้

$$\text{ปริมาณสารละลายน้ำแอมโมเนียที่ใช้ (g)} = (0.0045 - \text{ความเป็นต่าง}) \times 1000 \times W_T / 0.1 \quad \dots \dots \dots \quad (2)$$

เมื่อ ความเป็นต่าง ได้จากการคำนวณก่อนหน้านี้

W_t คือ น้ำหนักของน้ำยางสตที่ใช้หั่นมาในบ่อปรับคุณภาพ

4. การวิเคราะห์หา %TSC เริ่มต้นในน้ำยางสต

เครื่องมือ/อุปกรณ์

1. อุปกรณ์พื้นฐานในห้องปฏิบัติการ
2. ajanpae เชือ

วิธีการทดลอง

1. ชั่งน้ำยางสต 2-5 g ใส่ajanpae เชือ
2. อบให้แห้งที่อุณหภูมิ 80 องศาเซลเซียสเป็นเวลา 12 ชั่วโมง จากนั้นทำให้เย็นใน Desiccator
3. ชั่งน้ำหนักและบันทึกน้ำหนักแห้งรวม

การคำนวณ

$$\%TSC = \frac{(\text{นน.ยา} + \text{นน.ajanpae}) - \text{นน.ajanpae}}{\text{นน.น้ำยา}} \times 100$$

5. การวิเคราะห์หา %DRC ในน้ำยางสต

เครื่องมือ/อุปกรณ์

1. อุปกรณ์พื้นฐานในห้องปฏิบัติการ
2. กรดอะซิติก 5% w/v
3. ถ้วยอลูมิเนียม

วิธีการทดลอง

1. ชั่งน้ำยางสต 10.0 g ใส่ถ้วยอลูมิเนียม เติมกรดอะซิติก 5% จนน้ำยางสตจับตัวหมด
2. ทำให้ร้อนด้วยการนำไปวางบน water bath จนกระทั่งน้ำยางสตจับตัว
3. นำก้อนยางสตที่จับตัวไปรีดเป็นแผ่นบาง แล้วล้างด้วยน้ำจนแน่ใจว่าไม่มีกรดติดที่ยา

4. อบให้แห้งที่อุณหภูมิ 80 องศาเซลเซียสเป็นเวลา 12 ชั่วโมง จากนั้นทำให้เย็นใน Desiccator
5. ซึ่งน้ำหนักและบันทึกน้ำหนักแห้งรวม

การคำนวณ

$$\%DRC = (\text{น้ำหนักน้ำยาแห้ง} * 100) / 10$$

6. การหาปริมาณ Mg^{2+} เริ่มต้นในน้ำยา

สารเคมี/อุปกรณ์

1. สารละลายน้ำฟเฟอร์ NH_4Cl / NH_4OH

เตรียมโดยซึ่งแอมโมเนียมคลอไรด์ (NH_4Cl) 67.5 กรัม ละลายน้ำ 250 ลบ.ซม. แล้วผสมกับน้ำแอมโมเนีย (ด.พ. 0.088) 570 ลบ.ซม. เจือจางให้ส่วนผสมทั้งหมดเป็น 1 ลิตร สารละลายน้ำฟเฟอร์ที่ได้ควรมี pH 10.5

2. น้ำแอมโมเนีย (ด.พ. 0.088) (NH_3 33%)

3. EDTA 0.005 มोลาร์ (M, Molar)

disodium ethylene diamine tetraacetic acid (EDTA) 1.86 กรัม ละลายน้ำ ให้ทำการเข้มข้นที่แท้จริงโดย ไดเตราทกับสารละลายน้ำ 1.2325 กรัม ละลายน้ำ ให้มีปริมาตร 1000 cm^3 มาตรฐานแมกนีเซียม 0.005 มोลาร์ (เตรียมสารละลายน้ำ ให้มีปริมาตร 1000 cm^3 โดยใช้ $MgSO_4 \cdot 7H_2O$)

4. สารละลายนีโตโรเจนไคยาไนต์ (KCN) 4% (น้ำหนัก / ปริมาตร)

5. อินดิเคเตอร์ Eriochrome Black T

ซึ่ง Eriochrome Black T 0.3 กรัม และ โปแตสเซียมคลอไรด์ 100 กรัม บดผสมให้เข้ากัน

การหาแมกนีเซียมในน้ำยาางสดที่มีแอมโมเนียมและได้ปั่นแยกกอนเศษต่าง ๆ กอกแล้ว
(Magnesium in desludged ammoniated field latex)

วิธีการทดลอง

1. นำน้ำยาางตัวอย่างประมาณ 20 ลูกบาศก์เซนติเมตร เทลงในหลอดปั่น (conial centrifuge tube) ขนาด 50 ลูกบาศก์เซนติเมตร และปั่นในเครื่องปั่น 3000 rpm ประมาณ 3 นาที แล้วใช้ปีเปตคูดน้ำยาางส่วนบนใส่บีกเกอร์
2. เทน้ำกกลั่น 100 ลูกบาศก์เซนติเมตร ลงในขวดรูปชามพู่ ขนาด 250 ลูกบาศก์เซนติเมตร
3. เติมบัฟเฟอร์ 2 ลูกบาศก์เซนติเมตร แล้วเติมสารละลาย KCN 4 ลูกบาศก์เซนติเมตร และอินดิเคเตอร์ Eriochrome Black T 0.1 กรัม ลงผสมกับน้ำกกลั่น จากข้อ 2
4. นำน้ำยาางที่ปีเปตจากส่วนบนของหลอด ซึ่งเตรียมไว้แล้วจากข้อ 1 จำนวน 1 กรัม (ซึ่งอย่างละเอียด 0.1 มิลลิกรัม) เติมลงในสารละลายที่เตรียมได้จากข้อ 3
5. ไฮเตรอ (ข้อ 4) ด้วยสารละลายมาตรฐาน EDTA จุดยุติคือ จุดที่มีการเปลี่ยนสีจากสีม่วงเป็นสีฟ้า

* การหาความเข้มข้นของสารละลายมาตรฐาน EDTA ทำโดยวิธีเดียวกับการได้เทรอทันน้ำยาาง แต่ใช้สารละลายมาตรฐาน Mg จำนวน 10 ลูกบาศก์เซนติเมตร แทนน้ำยาาง ทำซ้ำ 3 ครั้ง แล้วคำนวณความเข้มข้นที่แท้จริงของ EDTA โดยสูตร $N_1 V_1 = N_2 V_2$ (N_1 = ความเข้มข้น $MgSO_4$, V_1 = ปริมาณ $MgSO_4$ (10 ลูกบาศก์เซนติเมตร), V_2 = ปริมาณ EDTA ที่ใช้ได้เทรอและ N_2 คือ ความเข้มข้นของ EDTA ที่ต้องทราบ)

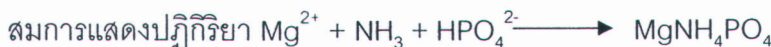
* ในการได้เทรอทันน้ำยาางกับ EDTA โดยมีไปแต่สเทียมไชยาไนด์ และ Eriochrome Black T เป็นอินดิเคเตอร์นั้น เป็นการได้เทรอทหาน้ำยาางโดยรวมของแคลเซียมและแมกนีเซียม อย่างไรก็ตาม ปกติในน้ำยาางจะมีปริมาณของแคลเซียมอยู่ส่วนน้อย เมื่อเทียบกับปริมาณของแมกนีเซียม ดังนั้นมีจําเป็นที่จะใช้วิธีการได้เทรอทดังกล่าว เพื่อการควบคุมการผลิตปริมาณ EDTA ที่ใช้ได้เทรอทจึงอาจถือว่าเป็นปริมาณที่ใช้ได้เทรอทแมกนีเซียม เพียงอย่างเดียวได้

สมการที่ใช้ในการคำนวณหา

$$\text{ปริมาณของ } Mg^{2+} \text{ ต่อน้ำหนักของ TSC (ppm)} = \frac{(N \times V) \times 24.31 \times 100,000}{W \times (\%TSC)}$$



เมื่อ N คือ ความเข้มข้นของ EDTA (มิลลิโลิตร์)
 V คือ ปริมาตรของ EDTA ที่ใช้ (มิลลิลิตร)
 W คือ น้ำหนักเป็นกรัมของตัวอย่างน้ำยา (g)
 %TSC คือ ร้อยละโดยมวลของ Total solid content ในน้ำยาสตด
 อธิบายการเติม DAHP ลงในน้ำยาสตด เพื่อลดปริมาณ Mg^{2+}



ให้ X แทน ปริมาณ Mg^{2+} ที่ต้องการกำจัดออก

$$Mg^{2+} \text{ จำนวน } 24.31 \text{ g ทำปฏิกิริยาพอดีกับ } HPO_4^{2-} \text{ จำนวน } \frac{132.06}{2} \text{ g}$$

$$Mg^{2+} \text{ จำนวน } X - 170 \text{ ppm ทำปฏิกิริยาพอดีกับ } HPO_4^{2-} \text{ จำนวน } \frac{132.06 \times (X - 170)}{2 \times 24.31} \text{ ppm}$$

$$\begin{array}{l} \text{น้ำยาสตด} \\ \text{จำนวน} \end{array} \quad 1 \quad \text{ตัน ใช้ DAHP จำนวน} \quad \frac{132.06 \times (X - 170)}{2 \times 24.31} \text{ g}$$

$$\begin{array}{l} \text{น้ำยาสตด} \\ \text{จำนวน} \end{array} \quad W_T \quad \text{ตัน ใช้ DAHP จำนวน} \quad \frac{132.06 \times (X - 170) \times W_T}{2 \times 24.31} \text{ g หรือ}$$

$$\frac{132.06 \times (X - 170) \times W_T}{2 \times 24.31 \times 1000} \text{ kg}$$

สำหรับการเติมสารละลาย DAHP 10%

DAHP 10 kg เติมเป็นสารละลาย 100 kg

$$DAHP \frac{132.06 \times (X - 170) \times W_T}{2 \times 24.31 \times 1000} \text{ kg เติมเป็นสารละลาย}$$

$$\frac{132.06 \times (X - 170) \times W_T \times 100}{2 \times 24.31 \times 1000 \times 10} = 0.02716 \times (X - 170) \times W_T \text{ kg}$$

ดังนั้นสามารถคำนวณหาปริมาณ DAHP ที่ต้องเติมในน้ำยาางสดได้จากสูตร ดังนี้

$$\text{ปริมาณ DAHP ที่เติม} = 0.02716 \times (X - 170) \times W_T \quad (\text{Kg}) \quad \dots\dots\dots (4)$$

เมื่อ X คือ ปริมาณเริ่มต้นของ Mg^{2+} ต่อ TSC เริ่มต้น (ppm)

W_T คือ น้ำหนักของน้ำยาางสดที่ใช้หั้งหมด (ตัน)

7. การหาปริมาณ Mg^{2+} ที่เหลือในน้ำยาางสด

วิธีการทดลองเป็นวิธีเดียวกันกับการหาปริมาณ Mg^{2+} เริ่มต้นในน้ำยาางสด เพียงแต่น้ำยาางสดที่ใช้จะเป็นน้ำยาางสดหลังจากการเติม DAHP ลงไปแล้ว เป็นการหาปริมาณ Mg^{2+} ที่เหลือในน้ำยาางสดหลังจากการเติม DAHP ลงไปทำปฏิกิริยา Mg^{2+} ส่วนหนึ่งกล้ายเป็นชี้แป้งแล้ว

8. การหาปริมาณสลัดจ์

ที่ผ่านมา มีปัญหาในการหาปริมาณสลัดจ์ เนื่องจาก การแยกสลัดจ์ตามวิธีของโรงงานโดยการเหวี่ยงมัก มีอนุภาคยางติดมากับสลัดจ์ทำให้ผลการทดลองคลาดเคลื่อน จึงได้เปลี่ยนวิธีการทดลองใหม่ เป็นการกรองแทน

การหาปริมาณสลัดจ์ เริ่มน้ำยาาง 150 กรัม เติมสารละลายเอมโมเนียมไนเตรต-แอลกอฮอล์ 150 มิลลิลิตร กรองผ่านผ้ากรองขนาด 35 ไมครอน โดยใช้ปั๊มสูญญากาศช่วยกรอง ล้างสลัดจ์ด้วยสารละลายเอมโมเนียมไนเตรต-แอลกอฮอล์ อบสลัดจ์ให้แห้งจนได้น้ำหนักคงที่ แล้วนำมาคำนวณจากสูตร

$$\text{ปริมาณสลัดจ์(ppm)} = (\text{น้ำหนักสลัดจ์ที่อบแห้งแล้ว} / \text{น้ำหนักน้ำยาางตัวอย่าง}) * 1000000$$

สารเคมี/อุปกรณ์

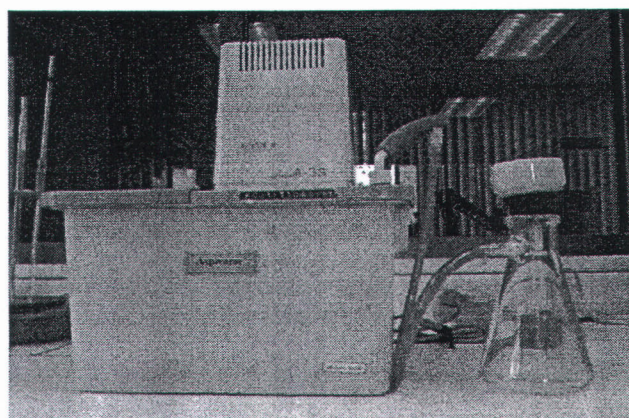
สารละลายแอลกอฮอล์ประกوبด้วยสารเหล่านี้

1. แอมโมเนียมไนเตรต, ความหนาแน่น $0.90 \pm 0.02 \text{ g/ml}$ (25%) 10 ml
2. เอทเทนอล 95% (ปริมาตร/ปริมาตร) 340 มล.
3. น้ำกลั่นเติมจนได้ปริมาตร 1000 มล.
4. เครื่องกรองสูญญากาศ

วิธีการทดลอง

1. ชั้นน้ำยาางสด 50 กรัม ใส่บีกเกอร์ขนาด 500 มิลลิลิตร
2. เติมสารละลายเอมโมเนีย-แอลกอฮอล์ 100 มิลลิลิตร เแล้วคนผสมให้เข้ากัน
3. เทผ่านผ้ากรองขนาด 35 ไมครอน โดยใช้ปั๊มสูญญากาศช่วยกรอง โดยในระหว่างการกรอง ถ้างสัดจ์ด้วยสารละลายเอมโมเนีย-แอลกอฮอล์เรื่อยๆ (100 มิลลิลิตร) เพื่อช่วยให้ยางกับสัดจ์แยกตัวออกจากกัน
4. นำผ้ากรองที่มีสัดจ์ติดอยู่ใส่ในงานเพาะเชื้อที่ชั้นน้ำหนักแล้ว
5. นำไปอบที่อุณหภูมิ 70 ± 2 องศาเซลเซียส จนของเหลวระเหยแห้งหมด
6. ชั้นน้ำหนักงานเพาะเชื้อสัดจ์ที่อบแห้งแล้ว

$$\text{ปริมาณสัดจ์(ppm)} = (\frac{\text{น้ำหนักสัดจ์ที่อบแห้งแล้ว}}{\text{น้ำหนักน้ำยาางตัวอย่าง}} * 1000000) ----- (5)$$



รูปที่ ก 4 เครื่องกรองสูญญากาศที่ใช้ทดสอบปริมาณสัดจ์

9. การทดสอบความคงตัวเชิงกล (Mechanical Stability Time)

ความคงตัวของน้ำยาางเชิงกล หมายถึง ความเสถียรของน้ำยาางต่ออิทธิพลทางกล คือการปั่นกวนใต้สถานะที่ควบคุม ซึ่งเมื่อน้ำยาางเสียความคงตัว อนุภาคยางจะเริ่มเกาะ หรือจับตัวเป็นเม็ดละอ่อน

ขอบเขต

วิธีนี้ใช้สำหรับทดสอบความคงตัวเชิงกลของน้ำยางขันจากยางพารา และน้ำยางขันคุณภาพส่วนที่จะใช้กับน้ำยางที่รักษาสภาพด้วยโพแทสเซียมไฮดรอกไซด์ น้ำยางจากพืชชนิดอื่น น้ำยางผสม (compounded latex) น้ำยางสังเคราะห์ (synthetic rubber latex) และน้ำยางเทียม (artificial of rubber)

วิธีการ

เจือจางตัวอย่างทดสอบให้มีปริมาณของเข็งทั้งหมดประมาณร้อยละ 55 (m/m) ใช้เครื่องกวานความเร็ว จับเวลาเมื่อตัวอย่างทดสอบเริ่มจับตัวเป็นเม็ด

สารเคมี

1 ใช้เฉพาะสารเคมีชนิดคุณภาพวิเคราะห์ และน้ำกลั่นหรือน้ำบริสุทธิ์เทียบเท่าน้ำกลั่น

2 สารละลายนามอนิเมเนีย (ammonia solution)

2.1 ความเข้มข้น 1.6% (m/m) สำหรับใช้กับตัวอย่างทดสอบที่มีความเป็นด่างมากกว่าร้อยละ 0.3

2.2 ความเข้มข้น 0.6% (m/m) สำหรับใช้กับตัวอย่างทดสอบที่มีความเป็นด่างน้อยกว่าร้อยละ 0.3

เครื่องมือ/อุปกรณ์

1. อุปกรณ์พื้นฐานในห้องปฏิบัติการ

2. เครื่องซั่ง (balance) ละเอียด 0.1 g

3. เครื่องวัดความคงตัวเชิงกล (mechanical stability measuring apparatus)

3.1 ภาชนะทรงกระบอกก้นแบน (Latex container) มีความสูงไม่น้อยกว่าเส้นผ่านศูนย์กลางภายใน 58 มิลลิเมตร \pm 1 มิลลิเมตร ผิวน้ำภายในเรียบ

3.2 เครื่องกวน (stirring apparatus) ประกอบด้วยก้านสแตนเลสปลายแหลมเส้นผ่านศูนย์กลางประมาณ 6.3 มิลลิเมตร และมีแผ่นสแตนเลสเส้นผ่านศูนย์กลาง 20.83 มิลลิเมตร \pm 0.03 มิลลิเมตร หนา 1.57 มิลลิเมตร ติดอยู่กับศูนย์กลางของปลายก้าน ก้านสแตนเลสนี้จะต้องไม่แกว่ง

ออกไปมากกว่า 0.25 มิลลิเมตร เมื่อเครื่องต้องทำงานที่ระดับ 14000 รอบ/นาที ± 200 รอบ/นาที ตลอดการทดสอบ

3.3 ตัวยึด (holder) สำหรับยึดภาชนะ (3.1) ให้อยู่ในตำแหน่งที่แผ่นสแตนเลสมีระยะห่างจากผิวในของก้นภาชนะ 13 มิลลิเมตร ± 1 มิลลิเมตร

4. อุปกรณ์ให้ความร้อน

4.1 จ่างน้ำ (water bath) ควบคุมอุณหภูมิได้ระหว่าง 60 องศาเซลเซียส ถึง 80 องศาเซลเซียสหรือ

4.2 ท่อแก้ว (glass tube) ขดให้มีรูปร่างเหมาะสม ใช้น้ำที่อุณหภูมิระหว่าง 60 องศาเซลเซียส ถึง 80 องศาเซลเซียส หมุนเวียนในท่อ

5. แผ่นกรองสแตนเลส (wire cloth) ความกว้างของช่อง 180 ไมโครเมตร ที่สอดคล้องกับมาตรฐาน ISO 3310-1

6. นาฬิกาจับเวลา (stop watch) ละเอียด 1 วินาที

วิธีการ

1. ทดสอบปริมาณของแข็งทั้งหมด และความเป็นด่างของตัวอย่างทดสอบ

2. ทดสอบความคงตัวเชิงกลภายใน 24 ชั่วโมงหลังจากเปิดภาชนะตัวอย่างสำหรับทดลอง

2.1 ชั่งตัวอย่างทดสอบประมาณ 100 g ในบีกเกอร์

2.2 เจือจางให้มีปริมาณของแข็งทั้งหมด 55% (m/m) $\pm 0.2\%$ ด้วยสารละลายนมเนย

2.3 คุณทันที่ให้ได้อุณหภูมิ 36 องศาเซลเซียส ถึง 37 องศาเซลเซียส ด้วยอุปกรณ์ให้ความร้อน พร้อมกวนช้าๆ

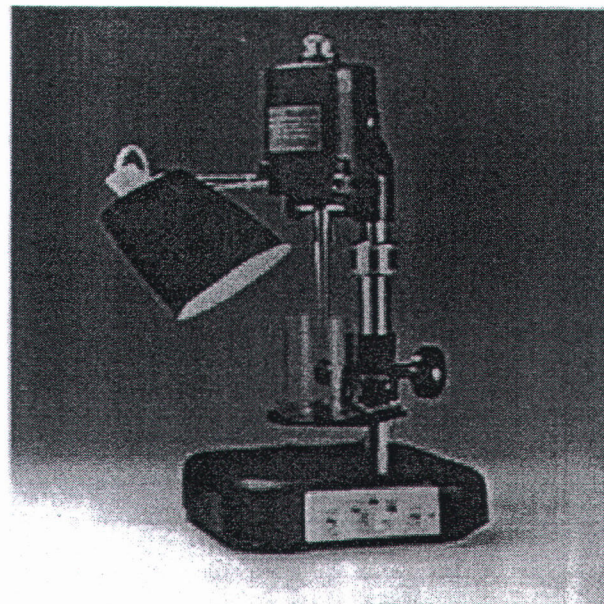
2.4 กรองด้วยแผ่นกรอง ลงในภาชนะที่เตรียมไว้ พร้อมชั่งน้ำหนักตัวอย่างทดสอบ 80 g ± 0.5 g

2.5 ตรวจอุณหภูมิตัวอย่างทดสอบให้ได้ 35 องศาเซลเซียส (± 1 องศาเซลเซียส) ก่อนวางภาชนะที่มีตัวอย่างทดสอบในเครื่องวัดความคงตัวเชิงกล (3) ตามตำแหน่งที่กำหนด

2.6 เปิดสวิตซ์เครื่องกวน พร้อมเริ่มจับเวลาทำงานให้เครื่องกวนทำงานด้วยความเร็ว 14000 รอบ/นาที ± 200 ต่อนาที ตลอดการทดสอบ

2.7 ก่อนถึงจุดหยุด ระดับตัวอย่างทดสอบบนแกนจะลดลง ตรวจจุดหยุดโดยทุก 15 วินาที ใช้แท่งแก้วจุ่มตัวอย่างทดสอบ แล้วทำให้กระจายบนผิวที่เหมาะสม เช่น ฝ่ามือ ผิวน้ำ หรือแผ่นกรอง (5) จุดหยุด คือเวลาที่เริ่มเห็นการจับตัวเป็นเม็ดครั้งแรก ยืนยันโดยการจุ่มน้ำภายใน 15 วินาที ปริมาณการจับตัวเป็นเม็ดเพิ่มขึ้น

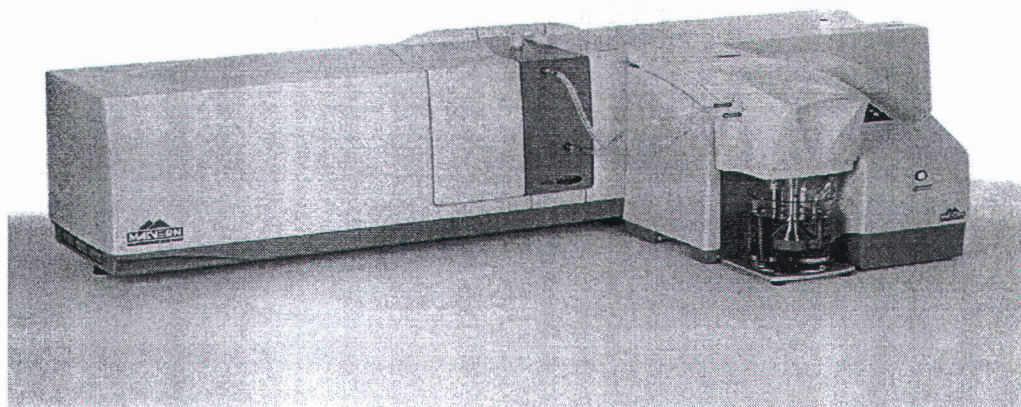
3. ผลการทดสอบของช้าต่างกันได้ไม่เกินร้อยละ 5 ของค่าเฉลี่ย



รูปที่ ก 5 เครื่องทดสอบความคงตัวเขิงกล (Determination of Mechanical Stability) ของน้ำยาาง

10. การวัดขนาดอนุภาคของน้ำยาางสด (Particle Size)

วัดขนาดอนุภาคของน้ำยาางสดโดยใช้เครื่องวัดขนาดอนุภาค (Mastersizer) ของบริษัท Malvern รุ่น S long bed ver. 2.19



รูปที่ ก 6 เครื่องวัดขนาดอนุภาคของน้ำยาางสด (Mastersizer)

11. การหา %การกักเก็บ (% Rejection)

$$\% \text{ Rejection} = 1 - C_p / C_b$$

C_p คือค่าความเข้มข้นในสายเพอร์มิเอต (% DRC สายเพอร์มิเอต)

C_b คือค่าความเข้มข้นทางสายป้อน (% DRC สายป้อน)

ภาคผนวก ๖

ตาราง ข 1 ผลของเวลาและความเร็วrobที่ 30 rpm ต่อความเข้มข้นของแมกนีเชียมที่เหลือของแต่ละตำแหน่ง

ตัวกวณแบบเก่า

ความเข้มข้นแมกนีเชียมเริ่มต้น (TSC = 32%)

น้ำยางสด(g)	EDTA(ml)	ความเข้มข้นของแมกนีเชียม(ppm)	เฉลี่ย
3.31	4.9	562.3	545.4
3.45	4.8	528.5	

เวลา(นาที)	ตำแหน่งที่	น้ำยางสด(g)	EDTA(ml)	ความเข้มข้นของแมกนีเชียม(ppm)
5	1	3.31	1.5	172.1
	2	3.45	1.7	187.2
	3	3.11	1.4	171.0
10	1	3.42	1.5	166.6
	2	3.23	1.5	176.4
	3	3.44	1.5	165.6
20	1	3.52	1.5	161.9
	2	3.43	1.5	166.1
	3	3.13	1.3	157.8
30	1	3.34	1.4	159.2
	2	3.52	1.5	161.9
	3	3.21	1.3	153.8
40	1	3.42	1.4	155.5
	2	3.59	1.5	158.7
	3	3.64	1.4	146.1



ตาราง ข 2 ผลของเวลาและความเร็วรอบที่ 40 rpm ต่อความเข้มข้นของแมกนีเซียมที่เหลือของแต่ละตำแหน่ง

ตัวกวณแบบเก่า

ความเข้มข้นแมกนีเซียม剩ตัน (TSC = 32%)

น้ำยางสด(g)	EDTA(ml)	ความเข้มข้นของแมกนีเซียม(ppm)	เฉลี่ย
3.31	4.9	562.3	545.4
3.45	4.8	528.5	

เวลา(นาที)	ตำแหน่งที่	น้ำยางสด(g)	EDTA(ml)	ความเข้มข้นของแมกนีเซียม(ppm)
5	1	3.31	1.4	160.7
	2	3.45	1.5	165.1
	3	3.11	1.3	158.8
10	1	3.42	1.4	155.5
	2	3.25	1.4	163.6
	3	3.64	1.4	146.1
20	1	3.40	1.3	145.2
	2	3.62	1.5	157.4
	3	3.55	1.3	139.1
30	1	3.56	1.3	138.7
	2	3.36	1.3	147.0
	3	3.46	1.2	131.7
40	1	3.73	1.3	132.4
	2	3.53	1.3	139.9
	3	3.25	1.1	128.6

ตาราง ข 3 ผลของเวลาและความเร็วรอบที่ 50 rpm ต่อความเข้มข้นของแมกนีเชียมที่เหลือของแต่ละตำแหน่ง

ตัวกวณแบบเก่า

ความเข้มข้นแมกนีเชียมเริ่มต้น (TSC = 32%)

น้ำยาางสตด(g)	EDTA(ml)	ความเข้มข้นของแมกนีเชียม(ppm)	เฉลี่ย
3.31	4.5	516.4	511.4
3.45	4.6	506.5	

เวลา(นาที)	ตำแหน่งที่	น้ำยาางสตด(g)	EDTA(ml)	ความเข้มข้นของแมกนีเชียม(ppm)
5	1	3.42	1.4	155.5
	2	3.25	1.4	163.6
	3	3.35	1.3	147.4
10	1	3.66	1.4	145.3
	2	3.23	1.3	152.9
	3	3.54	1.3	139.5
20	1	3.42	1.2	133.3
	2	3.33	1.3	148.3
	3	3.63	1.2	125.6
30	1	3.34	1.1	125.1
	2	3.52	1.3	140.3
	3	3.21	1.0	118.3
40	1	3.42	1.0	111.1
	2	3.59	1.3	137.5
	3	3.64	1.0	104.4

ตาราง ข. 4 ผลของเวลาและความเร็วรอบที่ 60 rpm ต่อความเข้มข้นของแมgnีเชียมที่เหลือของแต่ละตำแหน่ง

ตัวกวณแบบเก่า

ความเข้มข้นแมgnีเชียมเริ่มต้น (TSC = 32%)

น้ำยางสด(g)	EDTA(ml)	ความเข้มข้นของแมgnีเชียม(ppm)	เฉลี่ย
3.31	4.5	516.4	511.4
3.45	4.6	506.5	

เวลา(นาที)	ตำแหน่งที่	น้ำยางสด(g)	EDTA(ml)	ความเข้มข้นของแมgnีเชียม(ppm)
5	1	3.41	1.5	167.1
	2	3.32	1.5	171.6
	3	3.53	1.5	161.4
10	1	3.84	1.6	158.3
	2	3.42	1.5	166.6
	3	3.51	1.4	151.5
20	1	3.64	1.4	146.1
	2	3.53	1.5	161.4
	3	3.52	1.3	140.3
30	1	3.55	1.3	139.1
	2	3.54	1.4	150.2
	3	3.74	1.3	132.0
40	1	3.71	1.2	122.9
	2	3.43	1.3	144.0
	3	3.52	1.1	118.7

ตาราง ข 5 ผลของเวลาและความเร็วรอบที่ 30 rpm ต่อความเข้มข้นของแมกนีเชียมที่เหลือของแต่ละตำแหน่ง

ตัวกวณแบบใหม่

ความเข้มข้นแมกนีเชียมเริ่มต้น (TSC = 32%)

น้ำยางสต(g)	EDTA(ml)	ความเข้มข้นของแมกนีเชียม (ppm)	เฉลี่ย
4.20	6.6	600.2	587.99
4.51	6.8	575.8	

เวลา(นาที)	ตำแหน่งที่	น้ำยางสต(g)	EDTA(ml)	ความเข้มข้นของแมกนีเชียม(ppm)
5	1	3.09	0.5	61.46
	2	3.23	0.6	70.56
	3	3.30	0.5	57.55
10	1	3.16	0.5	60.10
	2	3.44	0.6	66.25
	3	3.36	0.5	56.52
20	1	3.92	0.6	58.14
	2	3.53	0.6	64.56
	3	3.60	0.5	52.76
30	1	3.49	0.5	54.42
	2	3.61	0.6	63.13
	3	3.65	0.5	52.03
40	1	3.72	0.5	51.05
	2	3.65	0.6	62.44
	3	3.76	0.5	50.51

ตาราง ข 6 ผลของเวลาและความเร็วรอบที่ 40 rpm ต่อความเข้มข้นของแมกนีเซียมที่เหลือของแต่ละตัวแหน่ง

ตัวกวณแบบใหม่

ความเข้มข้นแมกนีเซียมเริ่มต้น (TSC = 32%)

น้ำยางสต(g)	EDTA(ml)	ความเข้มข้นของแมกนีเซียม (ppm)	เฉลี่ย
3.55	5.5	591.7	586.19
3.42	5.2	580.7	

เวลา(นาที)	ตัวแหน่งที่	น้ำยางสต(g)	EDTA(ml)	ความเข้มข้นของแมกนีเซียม (ppm)
5	1	3.74	0.6	60.94
	2	3.29	0.6	69.27
	3	3.37	0.5	56.36
10	1	3.29	0.5	57.73
	2	3.55	0.6	64.20
	3	3.48	0.5	54.58
20	1	3.44	0.5	55.21
	2	3.65	0.6	62.44
	3	3.59	0.5	52.90
30	1	3.59	0.5	52.90
	2	3.79	0.6	60.13
	3	3.73	0.5	50.92
40	1	3.10	0.4	49.01
	2	3.49	0.5	54.42
	3	3.21	0.4	47.33

ตาราง ข 7 ผลของเวลาและความเร็วตอบที่ 50 rpm ต่อความเข้มข้นของแมกนีเชียมที่เหลือของแต่ละตำแหน่ง

ตัวกวณแบบใหม่

ความเข้มข้นแมกนีเชียมเริ่มต้น (TSC = 32%)

น้ำยางสด (g)	EDTA(ml)	ความเข้มข้นของแมกนีเชียม (ppm)	เฉลี่ย
3.19	4.9	580.1	586.98
3.18	5.0	593.8	

เวลา(นาที)	ตำแหน่งที่	น้ำยางสด (g)	EDTA(ml)	ความเข้มข้นของแมกนีเชียม (ppm)
5	1	3.49	0.4	43.54
	2	3.58	0.5	53.05
	3	3.70	0.4	41.06
10	1	3.71	0.4	40.95
	2	3.11	0.4	48.85
	3	3.84	0.4	39.57
20	1	3.85	0.4	39.46
	2	3.37	0.4	45.09
	3	3.97	0.4	38.27
30	1	3.08	0.3	37.00
	2	3.49	0.4	43.54
	3	3.09	0.3	36.88
40	1	3.28	0.3	34.74
	2	3.55	0.4	42.80
	3	3.34	0.3	34.12

ตาราง ข 8 ผลของเวลาและความเร็วรอบที่ 60 rpm ต่อความเข้มข้นของแมกนีเซียมที่เหลือของแต่ละตำแหน่ง

ตัวกวณแบบใหม่

ความเข้มข้นแมกนีเซียมเริ่มต้น (TSC = 32%)

น้ำยางส(g)	EDTA(ml)	ความเข้มข้นของแมกนีเซียม(ppm)	เฉลี่ย
4.20	6.8	611.5	608.81
4.05	6.5	606.1	

เวลา(นาที)	ตำแหน่งที่	น้ำยางส(g)	EDTA(ml)	ความเข้มข้นของแมกนีเซียม(ppm)
5	1	3.13	0.4	48.54
	2	3.42	0.5	55.53
	3	3.41	0.4	44.56
10	1	3.57	0.4	42.56
	2	3.69	0.5	51.47
	3	3.64	0.4	41.74
20	1	3.77	0.4	40.30
	2	3.15	0.4	48.23
	3	3.89	0.4	39.06
30	1	3.95	0.4	38.47
	2	3.29	0.4	46.18
	3	3.98	0.4	38.18
40	1	3.97	0.4	38.27
	2	3.43	0.4	44.30
	3	3.99	0.4	38.08

ตาราง ข 9 ผลของเวลาและความเร็วรอบที่ 30 rpm ต่อปริมาณสลัดจ์ของแต่ละตำแหน่ง
ตัวกวณแบบเก่า

เวลา (นาที)	ตำแหน่ง	น้ำหนักน้ำ ยา(g)	น้ำหนักผ้า กรอง(g)	น้ำหนักสลัดจ์+ ผ้ากรอง(g)	น้ำหนักสลัดจ์ แห้ง(g)	ปริมาณสลัดจ์ (ppm)
5	1	50.34	0.5575	0.6123	0.0548	1088.60
	2	50.45	0.5432	0.5943	0.0511	1012.88
	3	50.53	0.5342	0.5897	0.0555	1098.36
10	1	50.35	0.5532	0.6103	0.0571	1134.06
	2	50.24	0.5312	0.5839	0.0527	1048.96
	3	50.64	0.5275	0.5857	0.0582	1149.29
20	1	50.23	0.5312	0.5912	0.06	1194.51
	2	50.42	0.5423	0.5992	0.0569	1128.52
	3	50.84	0.5459	0.6078	0.0619	1217.55
30	1	50.52	0.5309	0.5941	0.0632	1250.99
	2	50.85	0.5342	0.5941	0.0599	1177.97
	3	50.57	0.5534	0.6183	0.0649	1283.37
40	1	50.35	0.5543	0.6209	0.0666	1322.74
	2	50.34	0.5352	0.5991	0.0639	1269.37
	3	50.45	0.5267	0.5973	0.0706	1399.41

ตาราง ข 10 ผลของเวลาและความเร็วรอบที่ 40 rpm ต่อปริมาณสลัดจ์ของเต่าลงตัวแบบเก่า

เวลา (นาที)	ตัวแทน	น้ำหนักน้ำ ยา(g)	น้ำหนักผ้า กรอง(g)	น้ำหนักสลัดจ์+ ผ้ากรอง(g)	น้ำหนักสลัดจ์ แห้ง(g)	ความเข้มข้น sludge(ppm)
5	1	50.23	0.5523	0.6106	0.0583	1160.66
	2	50.21	0.5453	0.5982	0.0529	1053.57
	3	50.42	0.5325	0.5916	0.0591	1172.15
10	1	50.64	0.5453	0.6065	0.0612	1208.53
	2	50.32	0.5632	0.6182	0.0550	1093.00
	3	50.64	0.5325	0.5954	0.0629	1242.10
20	1	50.48	0.5379	0.6065	0.0686	1358.95
	2	50.61	0.5278	0.5852	0.0574	1134.16
	3	50.23	0.5376	0.6079	0.0703	1399.56
30	1	50.36	0.5467	0.6225	0.0758	1505.16
	2	50.74	0.5348	0.5971	0.0623	1227.83
	3	50.26	0.5463	0.6254	0.0791	1573.82
40	1	50.37	0.5521	0.6363	0.0842	1671.63
	2	50.83	0.5389	0.6059	0.0670	1318.12
	3	50.45	0.5482	0.6347	0.0865	1714.57

ตาราง ข 11 ผลของเวลาและความเร็วรอบที่ 50 rpm ต่อปริมาณสลัดจ์ของแต่ละตำแหน่ง
ตัวกวณแบบเก่า

เวลา (นาที)	ตำแหน่ง	น้ำหนักน้ำ ยา(g)	น้ำหนักผ้า กรอง(g)	น้ำหนักสลัดจ์+ ผ้ากรอง(g)	น้ำหนักสลัดจ์ แห้ง(g)	ความเข้มข้น sludge(ppm)
5	1	50.42	0.5585	0.6203	0.0618	1225.70
	2	50.35	0.5452	0.5996	0.0544	1080.44
	3	50.74	0.5234	0.5901	0.0667	1314.54
10	1	50.43	0.5345	0.6024	0.0679	1346.42
	2	50.25	0.5643	0.6213	0.0570	1134.33
	3	50.64	0.5647	0.6361	0.0714	1409.95
20	1	50.52	0.5315	0.6069	0.0754	1492.48
	2	50.24	0.5252	0.5851	0.0599	1192.28
	3	50.34	0.5356	0.6154	0.0798	1585.22
30	1	50.42	0.5376	0.6199	0.0823	1632.29
	2	50.46	0.5536	0.6191	0.0655	1298.06
	3	50.53	0.5426	0.6297	0.0871	1723.73
40	1	50.63	0.5642	0.6544	0.0902	1781.55
	2	50.34	0.5342	0.6067	0.0725	1440.21
	3	50.25	0.5463	0.6418	0.0955	1900.50

ตาราง ข 12 ผลของเวลาและความเร็วรอบที่ 60 rpm ต่อปริมาณสลัดจ์ของแต่ละตำแหน่ง
ตัวกวณแบบเก่า

เวลา (นาที)	ตำแหน่ง	น้ำหนักน้ำ ย่าง(g)	น้ำหนักผ้า กรอง(g)	น้ำหนักสลัดจ์+ ผ้ากรอง(g)	น้ำหนักสลัดจ์ แห้ง(g)	ความเข้มข้น sludge(ppm)
5	1	50.52	0.5442	0.6001	0.0559	1106.49
	2	50.34	0.5485	0.5991	0.0506	1005.16
	3	50.36	0.5663	0.6272	0.0609	1209.29
10	1	50.64	0.5427	0.6032	0.0605	1194.71
	2	50.46	0.5345	0.5874	0.0529	1048.36
	3	50.37	0.5423	0.6068	0.0645	1280.52
20	1	50.36	0.5534	0.6201	0.0667	1324.46
	2	50.35	0.5563	0.6149	0.0586	1163.85
	3	50.52	0.5647	0.6348	0.0701	1387.57
30	1	50.42	0.5526	0.6255	0.0729	1445.85
	2	50.36	0.5635	0.6269	0.0634	1258.94
	3	50.26	0.5646	0.6418	0.0772	1536.01
40	1	50.46	0.5457	0.6251	0.0794	1573.52
	2	50.52	0.5524	0.6201	0.0677	1340.06
	3	50.26	0.5462	0.6336	0.0874	1738.96

ตาราง ข 13 ผลของเวลาและความเร็วรอบที่ 30 rpm ต่อปริมาณสลัดจ์ของแต่ละตำแหน่ง
ตัวกวณแบบใหม่

เวลา (นาที)	ตำแหน่ง	น้ำหนักน้ำ ยา(g)	น้ำหนักผ้า กรอง(g)	น้ำหนักสลัดจ์+ ผ้ากรอง(g)	น้ำหนักสลัดจ์ แห้ง(g)	ความเข้มข้น sludge(ppm)
5	1	50.34	0.5575	0.6468	0.0893	1773.94
	2	50.16	0.5552	0.6384	0.0832	1658.69
	3	50.04	0.5482	0.6387	0.0905	1808.55
10	1	50.88	0.5442	0.6368	0.0926	1819.97
	2	50.51	0.5435	0.6285	0.085	1682.84
	3	50.52	0.5475	0.6428	0.0953	1886.38
20	1	50.24	0.5331	0.6295	0.0964	1918.79
	2	50.09	0.5592	0.6501	0.0909	1814.73
	3	50.41	0.5459	0.6512	0.1053	2088.87
30	1	50.89	0.5312	0.6333	0.1021	2006.29
	2	50.44	0.5306	0.6257	0.0951	1885.41
	3	50.4	0.5409	0.6505	0.1096	2174.60
40	1	50.18	0.5371	0.6465	0.1094	2180.15
	2	50.44	0.5359	0.6338	0.0979	1940.92
	3	50.93	0.5318	0.6478	0.116	2277.64

ตาราง ข 14 ผลของเวลาและความเร็วรอบที่ 40 rpm ต่อปริมาณสลัดจ์ของแต่ละตำแหน่ง
ตัวกวณแบบใหม่

เวลา (นาที)	ตำแหน่ง	น้ำหนักน้ำ ย่าง(g)	น้ำหนักผ้า กรอง(g)	น้ำหนักสลัดจ์+ ผ้ากรอง(g)	น้ำหนักสลัดจ์ แห้ง(g)	ความเข้มข้น sludge(ppm)
5	1	50.48	0.5371	0.6292	0.0921	1824.48
	2	50.89	0.538	0.6246	0.0866	1701.71
	3	50.72	0.5385	0.6347	0.0962	1896.69
10	1	50.58	0.5393	0.6361	0.0968	1913.80
	2	50.31	0.539	0.6278	0.0888	1765.06
	3	50.72	0.5435	0.6498	0.1063	2095.82
20	1	50.19	0.5435	0.6524	0.1089	2169.75
	2	50.98	0.5592	0.6540	0.0948	1859.55
	3	50.96	0.553	0.6705	0.1175	2305.73
30	1	50.08	0.5385	0.6511	0.1126	2248.40
	2	50.72	0.5509	0.6479	0.0970	1912.46
	3	50.59	0.5369	0.6650	0.1281	2532.12
40	1	50.82	0.5251	0.6453	0.1202	2365.21
	2	50.93	0.5129	0.6198	0.1069	2098.96
	3	50.91	0.5369	0.6698	0.1329	2610.49

ตาราง ข 15 ผลของเวลาและความเร็วรอบที่ 50 rpm ต่อปริมาณสลัดจ์ของแต่ละตำแหน่ง
ตัวกวณแบบใหม่

เวลา (นาที)	ตำแหน่ง	น้ำหนักน้ำ ยา(g)	น้ำหนักผ้า กรอง(g)	น้ำหนักสลัดจ์+ ผ้ากรอง(g)	น้ำหนักสลัดจ์ แห้ง(g)	ความเข้มข้น sludge(ppm)
5	1	50.65	0.521	0.6298	0.1088	2148.08
	2	50.98	0.5429	0.6393	0.0964	1890.94
	3	50.82	0.527	0.6508	0.1238	2436.05
10	1	50.85	0.5324	0.6520	0.1196	2352.02
	2	50.82	0.5388	0.6415	0.1027	2020.86
	3	50.93	0.5362	0.6743	0.1381	2711.56
20	1	50.82	0.5402	0.6951	0.1549	3048.01
	2	50.42	0.5427	0.6611	0.1184	2348.27
	3	50.96	0.536	0.6993	0.1633	3204.47
30	1	50.98	0.5337	0.7259	0.1922	3770.11
	2	50.82	0.5405	0.6832	0.1427	2807.95
	3	50.75	0.5366	0.7303	0.1937	3816.75
40	1	50.37	0.5282	0.7520	0.2238	4443.12
	2	50.59	0.5285	0.7219	0.1934	3822.89
	3	50.72	0.5404	0.7712	0.2308	4550.47



ตาราง ข 16 ผลของเวลาและความเร็วรอบที่ 60 rpm ต่อปริมาณสลัดจ์ของเต่าลงตัวหนึ่ง
ตัวกวนแบบใหม่

เวลา (นาที)	ตัวแทน	น้ำหนักน้ำ ยาง(g)	น้ำหนักผ้า กรอง(g)	น้ำหนักสลัดจ์+ ผ้ากรอง(g)	น้ำหนักสลัดจ์ แห้ง(g)	ความเข้มข้น Sludge(ppm)
5	1	50.45	0.541	0.6416	0.1006	1994.05
	2	50.65	0.5367	0.6276	0.0909	1794.67
	3	50.23	0.523	0.6332	0.1102	2193.91
10	1	50.71	0.534	0.6409	0.1069	2108.07
	2	50.85	0.535	0.6305	0.0955	1878.07
	3	50.62	0.5375	0.6529	0.1154	2279.73
20	1	50.51	0.5315	0.6494	0.1179	2334.19
	2	50.6	0.542	0.6455	0.1035	2045.45
	3	50.49	0.5385	0.6684	0.1299	2572.79
30	1	50.23	0.5375	0.6663	0.1288	2564.20
	2	50.12	0.541	0.6539	0.1129	2252.59
	3	50.21	0.5382	0.6739	0.1357	2702.65
40	1	50.81	0.5485	0.6964	0.1479	2910.84
	2	50.92	0.538	0.6587	0.1207	2370.38
	3	50.7	0.5257	0.6823	0.1566	3088.76

ตาราง ข 17 ผลของการตั้งน้ำยาทึบไว้หลังการกรองเพื่อให้สลัดจ์ตกลอกอนลงมาที่ด้านล่างบ่อ

ความเข้มข้นเมกนีเชียม

ความเร็วรอบ (rpm)	40 min	8 hr
30	9.297475797	5.952453544
40	8.573031729	4.008918804
50	6.340867074	3.066545663
60	6.60564241	3.61360097

ปริมาณสลัด

ความเร็วรอบ (rpm)	40 min	8 hr
30	3.999259533	10.69326705
40	4.400168788	12.27925428
50	7.770955871	17.68607968
60	4.906822906	10.98052024



ตาราง ข 18 ผลของขนาดอนุภาคที่ความเร็วรอบ 30 rpm เวลา 5 นาที



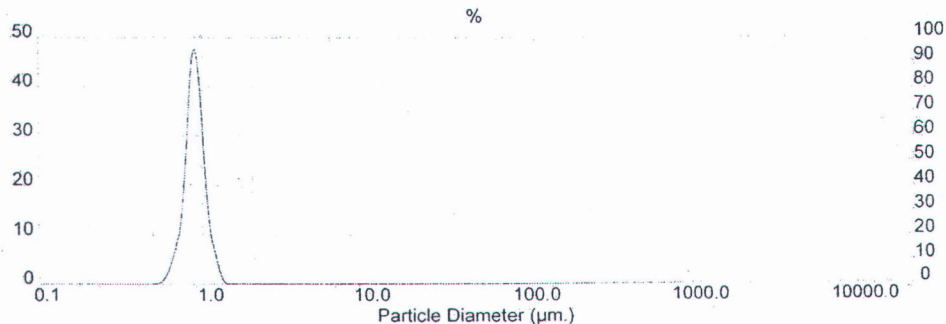
ศูนย์ห้องมืออาชีววิทยาศาสตร์และเทคโนโลยี
มหาวิทยาลัยจุฬาลงกรณ์
ชั้นสอง ตึก 23 ถนนสุขุมวิท แขวงคลองเตย เขตคลองเตย กรุงเทพฯ 10110
Scientific and Technological Research Equipment Centre
Chulalongkorn University
Building 23, Chula Soi 62, Phaya Thai Rd., Phatumwan Bangkok 10330 Tel. 2188029-32, 2188101 Fax. 2546211

Result: Analysis Report

Sample Details		
Sample ID: 30 rpm 5 min	Run Number: 10	Measured: Mon Feb 1 2010 10:53AM
Sample File: CHULA12	Record Number: 1327	Analysed: Mon Feb 1 2010 10:53AM
Sample Path: C:\SIZERS\DATA\		Result Source: Analysed
Sample Notes: 30 rpm 5 min wet analysis system dispersing medium : water		

System Details			
Range Lens: 300RF mm	Beam Length: 2.40 mm	Sampler: MS1	Obscuration: 11.3 %
Presentation: 3OHD	[Particle R.I. = (1.5295, 0.1000); Dispersant R.I. = 1.3300]		
Analysis Model: Polydisperse			Residual: 2.604 %
Modifications: None			

Result Statistics			
Distribution Type: Volume	Concentration = 0.0017 %Vol	Density = 1.000 g / cub. cm	Specific S.A. = 6.7619 sq. m / g
Mean Diameters:	D (v, 0.1) = 0.75 um	D (v, 0.5) = 0.90 um	D (v, 0.9) = 1.06 um
D [4, 3] = 0.91 um	D [3, 2] = 0.89 um	Span = 3.361E-01	Uniformity = 1.158E-01
Size Low (um)	In %	Size High (um)	Under%
0.05	0.00	0.06	0.00
0.06	0.00	0.07	0.00
0.07	0.00	0.08	0.00
0.08	0.00	0.09	0.00
0.09	0.00	0.11	0.00
0.11	0.00	0.13	0.00
0.13	0.00	0.15	0.00
0.15	0.00	0.17	0.00
0.17	0.00	0.20	0.00
0.20	0.00	0.23	0.00
0.23	0.00	0.27	0.00
0.27	0.00	0.31	0.00
0.31	0.00	0.36	0.00
0.36	0.00	0.42	0.00
0.42	0.01	0.49	0.01
0.49	0.17	0.58	0.18
0.58	2.73	0.67	2.92
0.67	10.23	0.78	13.15
0.78	40.95	0.91	54.09
0.91	36.49	1.06	90.58
1.06	8.61	1.24	99.20
1.24	0.80	1.44	100.00
1.44	0.00	1.68	100.00
1.68	0.00	1.95	100.00
1.95	0.00	2.28	100.00
2.28	0.00	2.65	100.00
2.65	0.00	3.09	100.00
3.09	0.00	3.60	100.00
3.60	0.00	4.19	100.00
4.19	0.00	4.88	100.00
4.88	0.00	5.69	100.00
5.69	0.00	6.63	100.00



Malvern Instruments Ltd.
Malvern, UK

Tel: +[44] (0)1684-892456 Fax: +[44] (0)1684-892789

Mastersizer S long bed Ver. 2.19
Serial Number:

p. 33
03 Feb 10 15:44

ตาราง ข 19 ผลของขนาดอนุภาคที่ความเร็วรอบ 30 rpm เวลา 20 นาที



ศูนย์เครื่องมือวิจัยวิทยาศาสตร์และเทคโนโลยี
ภาควิชาเคมี 2 ชั้น 62 ถนนพญาไท แขวงปทุมวัน กรุงเทพฯ 10330 โทร. 2188029-32, 2188101 โทรสาร 2184021
Scientific and Technological Research Equipment Centre Chulalongkorn University
Building 2 ชั้น 62 ถนนพญาไท แขวงปทุมวัน กรุงเทพฯ 10330 Tel. 2188029-32, 2188101 Fax. 2184021

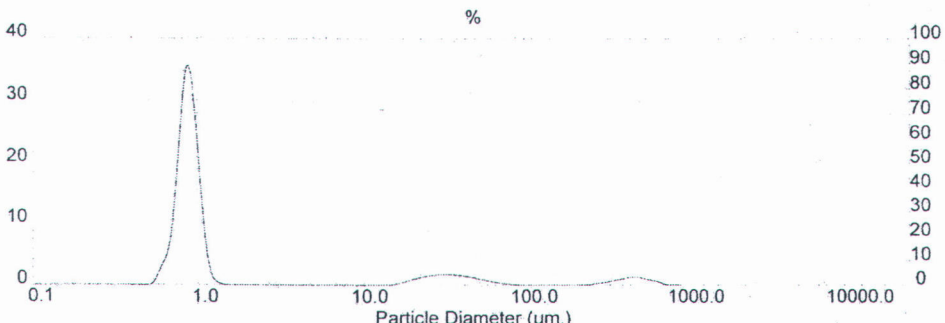
Result: Analysis Report

Sample Details			
Sample ID: 30 rpm 20 min	Run Number: 11	Measured: Mon Feb 1 2010 10:26AM	
Sample File: CHULA12	Record Number: 1276	Analysed: Mon Feb 1 2010 10:26AM	
Sample Path: C:\SIZERS\DATA\		Result Source: Analysed	
Sample Notes: 30 rpm 20 min wet analysis system dispersing medium : water			

System Details			
Range Lens: 300RF mm	Beam Length: 2.40 mm	Sampler: MS1	Obscuration: 11.6 %
Presentation: 30HD	[Particle R.I. = (1.5295, 0.1000); Dispersant R.I. = 1.3300]		
Analysis Model: Polydisperse			Residual: 2.667 %
Modifications: None			

Result Statistics			
Distribution Type: Volume	Concentration = 0.0021 %Vol	Density = 1.000 g / cub. cm	Specific S.A. = 5.7850 sq. m / g
Mean Diameters:	D (v, 0.1) = 0.74 um	D (v, 0.5) = 0.91 um	D (v, 0.9) = 35.80 um
D [4, 3] = 27.34 um	D [3, 2] = 1.04 um	Span = 3.861E+01	Uniformity = 2.923E+01

Size Low (um)	In %	Size High (um)	Under%	Size Low (um)	In %	Size High (um)	Under%
0.05	0.00	0.06	0.00	6.63	0.00	7.72	82.85
0.06	0.00	0.07	0.00	7.72	0.00	9.00	82.85
0.07	0.00	0.08	0.00	9.00	0.00	10.48	82.85
0.08	0.00	0.09	0.00	10.48	0.00	12.21	82.85
0.09	0.00	0.11	0.00	12.21	0.00	14.22	82.85
0.11	0.00	0.13	0.00	14.22	0.23	16.57	83.08
0.13	0.00	0.15	0.00	16.57	0.68	19.31	83.76
0.15	0.00	0.17	0.00	19.31	1.16	22.49	84.91
0.17	0.00	0.20	0.00	22.49	1.54	26.20	86.45
0.20	0.00	0.23	0.00	26.20	1.74	30.53	88.19
0.23	0.00	0.27	0.00	30.53	1.74	35.56	89.93
0.27	0.00	0.31	0.00	35.56	1.56	41.43	91.49
0.31	0.00	0.36	0.00	41.43	1.24	48.27	92.73
0.36	0.00	0.42	0.00	48.27	0.88	56.23	93.61
0.42	0.02	0.49	0.02	56.23	0.54	65.51	94.15
0.49	0.23	0.58	0.25	65.51	0.27	76.32	94.42
0.58	3.53	0.67	3.78	76.32	0.11	88.91	94.53
0.67	12.45	0.78	16.23	88.91	0.02	103.58	94.54
0.78	34.42	0.91	50.65	103.58	0.00	120.67	94.54
0.91	26.23	1.06	76.87	120.67	0.00	140.58	94.54
1.06	5.50	1.24	82.38	140.58	0.00	163.77	94.54
1.24	0.45	1.44	82.82	163.77	0.00	190.80	94.54
1.44	0.03	1.68	82.85	190.80	0.03	222.28	94.57
1.68	0.00	1.95	82.85	222.28	0.23	258.95	94.80
1.95	0.00	2.28	82.85	258.95	0.49	301.68	95.29
2.28	0.00	2.65	82.85	301.68	0.82	351.46	96.12
2.65	0.00	3.09	82.85	351.46	1.17	409.45	97.29
3.09	0.00	3.60	82.85	409.45	1.31	477.01	98.60
3.60	0.00	4.19	82.85	477.01	0.90	555.71	99.51
4.19	0.00	4.88	82.85	555.71	0.49	647.41	100.00
4.88	0.00	5.69	82.85	647.41	0.00	754.23	100.00
5.69	0.00	6.63	82.85	754.23	0.00	878.67	100.00



ตาราง ข 20 ผลของขนาดอนุภาคที่ความเร็วรอบ 30 rpm เวลา 40 นาที



ศูนย์เครื่องมือวิจัยวิทยาศาสตร์และเทคโนโลยี มหาวิทยาลัยมหาวิทยาลัย
ชุมชนสหกิจ ชั้น 2 ถนนพญาไท แขวงวังใหม่ กรุงเทพฯ 10330 โทร. 2188029-32, 2188101
Scientific and Technological Research Equipment Centre Chulalongkorn University
Building 2-3 Chula Soi 62 Phaya-Thai Rd. Phatumwan Bangkok 10330 Tel. 2188029-32, 2188101 Fax. 2546211

Result: Analysis Report

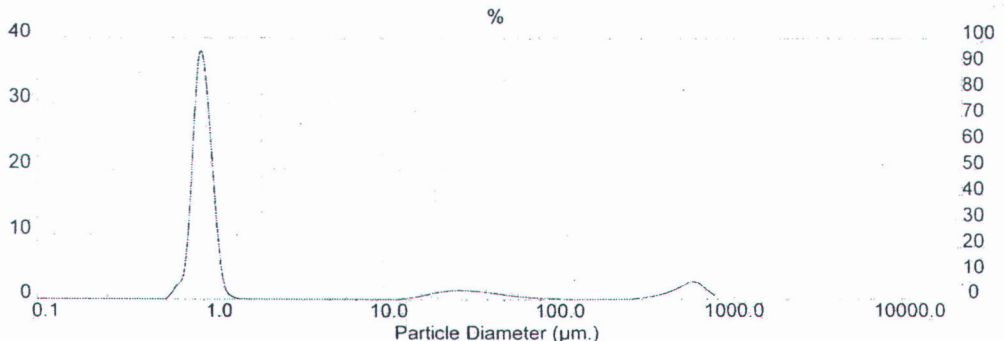
Sample Details			
Sample ID: 30 rpm 40 min	Run Number: 23		Measured: Mon Feb 1 2010 10:46AM
Sample File: CHULA12	Record Number: 1319		Analysed: Mon Feb 1 2010 10:46AM
Sample Path: C:SIZERS\DATA\			Result Source: Analysed

Sample Notes: 30 rpm 40 min
wet analysis system
dispersing medium : water

System Details			
Range Lens: 300RF mm	Beam Length: 2.40 mm	Sampler: MS1	Obscuration: 11.5 %
Presentation: 3OHD	[Particle R.I. = (1.5295, 0.1000); Dispersant R.I. = 1.3300]		
Analysis Model: Polydisperse			Residual: 2.456 %
Modifications: None			

Result Statistics			
Distribution Type: Volume	Concentration = 0.0022 %Vol	Density = 1.000 g / cub. cm	Specific S.A. = 5.4551 sq. m / g
Mean Diameters:	D (v, 0.1) = 0.78 um	D (v, 0.5) = 0.92 um	D (v, 0.9) = 74.55 um
D [4, 3] = 55.77 um	D [3, 2] = 1.10 um	Span = 7.999E+01	Uniformity = 5.959E+01

Size Low (um)	In %	Size High (um)	Under%	Size Low (um)	In %	Size High (um)	Under%
0.05	0.00	0.06	0.00	6.63	0.00	7.72	79.58
0.06	0.00	0.07	0.00	7.72	0.00	9.00	79.58
0.07	0.00	0.08	0.00	9.00	0.00	10.48	79.58
0.08	0.00	0.09	0.00	10.48	0.00	12.21	79.58
0.09	0.00	0.11	0.00	12.21	0.17	14.22	79.76
0.11	0.00	0.13	0.00	14.22	0.42	16.57	80.17
0.13	0.00	0.15	0.00	16.57	0.79	19.31	80.96
0.15	0.00	0.17	0.00	19.31	1.15	22.49	82.11
0.17	0.00	0.20	0.00	22.49	1.38	26.20	83.50
0.20	0.00	0.23	0.00	26.20	1.44	30.53	84.94
0.23	0.00	0.27	0.00	30.53	1.36	35.56	86.30
0.27	0.00	0.31	0.00	35.56	1.18	41.43	87.49
0.31	0.00	0.36	0.00	41.43	0.96	48.27	88.44
0.36	0.00	0.42	0.00	48.27	0.72	56.23	89.16
0.42	0.00	0.49	0.01	56.23	0.52	65.51	89.68
0.49	0.06	0.58	0.06	65.51	0.37	76.32	90.05
0.58	2.04	0.67	2.10	76.32	0.26	88.91	90.31
0.67	8.37	0.78	10.47	88.91	0.18	103.58	90.50
0.78	36.42	0.91	46.89	103.58	0.11	120.67	90.61
0.91	26.95	1.06	73.84	120.67	0.05	140.58	90.66
1.06	5.21	1.24	79.05	140.58	0.01	163.77	90.68
1.24	0.47	1.44	79.52	163.77	0.00	190.80	90.68
1.44	0.06	1.68	79.58	190.80	0.00	222.28	90.68
1.68	0.01	1.95	79.58	222.28	0.00	258.95	90.68
1.95	0.00	2.28	79.58	258.95	0.16	301.68	90.84
2.28	0.00	2.65	79.58	301.68	0.38	351.46	91.22
2.65	0.00	3.09	79.58	351.46	0.73	409.45	91.95
3.09	0.00	3.60	79.58	409.45	1.31	477.01	93.27
3.60	0.00	4.19	79.58	477.01	2.19	555.71	95.46
4.19	0.00	4.88	79.58	555.71	2.72	647.41	98.18
4.88	0.00	5.69	79.58	647.41	1.51	754.23	99.70
5.69	0.00	6.63	79.58	754.23	0.30	878.67	100.00



Malvern Instruments Ltd.
Malvern, UK

Tel: +(44) (0)1684-892456 Fax: +(44) (0)1684-892789

Mastersizer S long bed Ver. 2.19
Serial Number:

03 Feb 10

ตาราง ข 21 ผลของขนาดอนุภาคที่ความเร็วروب 40 rpm เวลา 5 นาที



ศูนย์เครื่องมือวิจัยศาสตร์และเทคโนโลยี
สาขาวิชาสถาปัตย์ ชั้น 62 ถนนพญาไท แขวงจตุจักร กรุงเทพฯ 10330 โทร. 2188029-32, 2188101 โทรสาร 2545211
Scientific and Technological Research Equipment Centre Chulalongkorn University
Building 2-8 Chula Soi 62 Phaya-Thai Rd. Phatumwan Bangkok 10330 Tel. 2188029-32, 2188101 Fax. 2545211

Result: Analysis Report

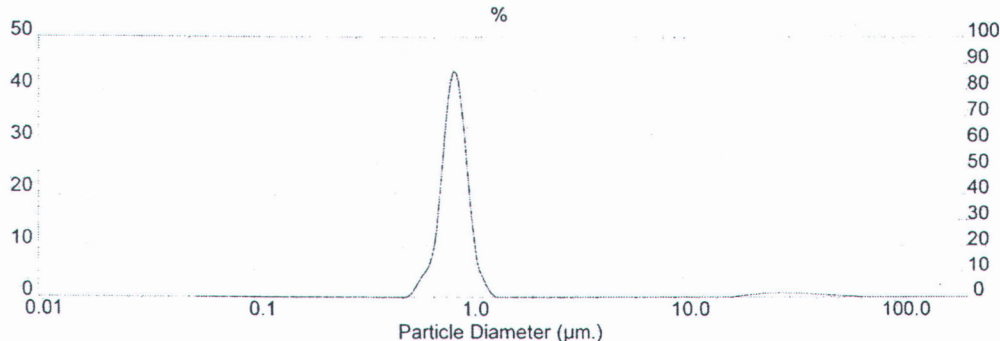
Sample Details		Measured: Mon Feb 1 2010 10:10AM
Sample ID: 40 rpm 5 min	Run Number: 3	Analysed: Mon Feb 1 2010 10:10AM
Sample File: CHULA12	Record Number: 1244	Result Source: Analysed
Sample Path: C:\SIZERS\DATA\		

Sample Notes: 40 rpm 5 min
wet analysis system
dispersing medium : water

System Details			
Range Lens: 300RF mm	Beam Length: 2.40 mm	Sampler: MS1	Obscuration: 12.1 %
Presentation: 30HD	[Particle R.I. = (1.5295, 0.1000); Dispersant R.I. = 1.3300]		Residual: 2.614 %
Analysis Model: Polydisperse			
Modifications: None			

Result Statistics			
Distribution Type: Volume	Concentration = 0.0019 %Vol	Density = 1.000 g / cub. cm	Specific S.A. = 6.6539 sq. m / g
Mean Diameters:	D (v, 0.1) = 0.73 um	D (v, 0.5) = 0.88 um	D (v, 0.9) = 1.07 um
D [4, 3] = 2.48 um	D [3, 2] = 0.90 um	Span = 3.834E-01	Uniformity = 1.927E+00

Size Low (um)	In %	Size High (um)	Under%	Size Low (um)	In %	Size High (um)	Under%
0.05	0.00	0.06	0.00	6.63	0.00	7.72	94.92
0.06	0.00	0.07	0.00	7.72	0.00	9.00	94.92
0.07	0.00	0.08	0.00	9.00	0.00	10.48	94.92
0.08	0.00	0.09	0.00	10.48	0.00	12.21	94.92
0.09	0.00	0.11	0.00	12.21	0.00	14.22	94.92
0.11	0.00	0.13	0.00	14.22	0.00	16.57	94.92
0.13	0.00	0.15	0.00	16.57	0.28	19.31	95.20
0.15	0.00	0.17	0.00	19.31	0.62	22.49	95.82
0.17	0.00	0.20	0.00	22.49	0.84	26.20	96.66
0.20	0.00	0.23	0.00	26.20	0.91	30.53	97.57
0.23	0.00	0.27	0.00	30.53	0.84	35.56	98.41
0.27	0.00	0.31	0.00	35.56	0.66	41.43	99.07
0.31	0.00	0.36	0.00	41.43	0.45	48.27	99.52
0.36	0.00	0.42	0.00	48.27	0.28	56.23	99.80
0.42	0.03	0.49	0.03	56.23	0.15	65.51	99.94
0.49	0.36	0.58	0.38	65.51	0.06	76.32	100.00
0.58	4.34	0.67	4.73	76.32	0.00	88.91	100.00
0.67	13.72	0.78	18.45	88.91	0.00	103.58	100.00
0.78	41.93	0.91	60.37	103.58	0.00	120.67	100.00
0.91	29.10	1.06	89.47	120.67	0.00	140.58	100.00
1.06	5.13	1.24	94.60	140.58	0.00	163.77	100.00
1.24	0.31	1.44	94.92	163.77	0.00	190.80	100.00
1.44	0.00	1.68	94.92	190.80	0.00	222.28	100.00
1.68	0.00	1.95	94.92	222.28	0.00	258.95	100.00
1.95	0.00	2.28	94.92	258.95	0.00	301.68	100.00
2.28	0.00	2.65	94.92	301.68	0.00	351.46	100.00
2.65	0.00	3.09	94.92	351.46	0.00	409.45	100.00
3.09	0.00	3.60	94.92	409.45	0.00	477.01	100.00
3.60	0.00	4.19	94.92	477.01	0.00	555.71	100.00
4.19	0.00	4.88	94.92	555.71	0.00	647.41	100.00
4.88	0.00	5.69	94.92	647.41	0.00	754.23	100.00
5.69	0.00	6.63	94.92	754.23	0.00	878.67	100.00



Malvern Instruments Ltd.

Malvern, UK

Tel: +[44] (0)1684-892456 Fax: +[44] (0)1684-892789

Mastersizer S long bed Ver. 2.19

Serial Number:

02 Feb 10

ตาราง ข 22 ผลของขนาดอนุภาคที่ความเร็วรอบ 40 rpm เวลา 20 นาที



ศูนย์เครื่องมือวิจัยวิทยาศาสตร์และเทคโนโลยี จุฬาลงกรณ์มหาวิทยาลัย
ชั้นสองพื้นที่ 2 ถนนพญาไท แขวงปทุมวัน กรุงเทพฯ 10330 โทร. 2188029-32, 2188103
Scientific and Technological Research Equipment Centre, Chulalongkorn University
Building 2-3 Chula Soi 52 Phaya Thai Rd, Phatumwan Bangkok 10330 Tel. 2188029-32, 2188103 Fax. 2549013

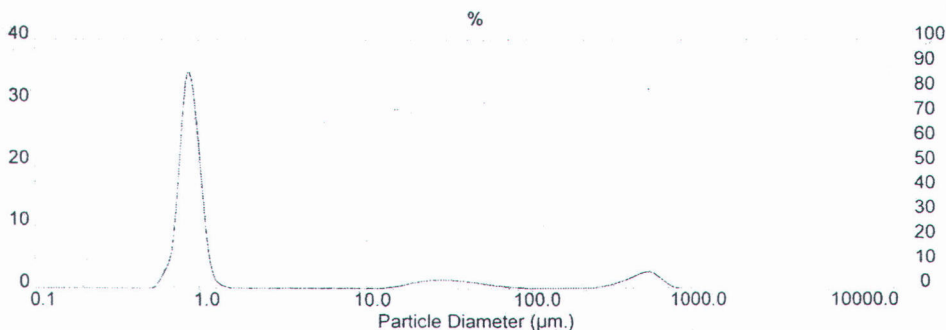
Result: Analysis Report

Sample Details	Run Number:	Measured: Mon Feb 1 2010 10:45AM
Sample ID:	20	Analysed: Mon Feb 1 2010 10:46AM
Sample File:	CHULA12	Result Source: Analysed
Sample Path:	C:\SIZERS\DATA\	
Sample Notes:	40 rpm 20 min wet analysis system dispersing medium : water	

System Details		Sampler: MS1	Obscuration: 11.6 %
Range Lens: 300RF mm	Beam Length: 2.40 mm	[Particle R.I. = (1.5295, 0.1000); Dispersant R.I. = 1.3300]	Residual: 3.087 %
Presentation: 30HD			
Analysis Model: Polydisperse			
Modifications: None			

Distribution Type: Volume	Concentration = 0.0022 %Vol	Density = 1.000 g / cub. cm	Specific S.A. = 5.5163 sq. m / g
Mean Diameters:	D (v, 0.1) = 0.76 um	D (v, 0.5) = 0.92 um	D (v, 0.9) = 73.76 um
D [4, 3] = 48.82 um	D [3, 2] = 1.09 um	Span = 7.913E+01	Uniformity = 5.204E+01

Size Low (um)	In %	Size High (um)	Under%	Size Low (um)	In %	Size High (um)	Under%
0.05	0.00	0.06	0.00	6.63	0.00	7.72	80.00
0.06	0.00	0.07	0.00	7.72	0.00	9.00	80.00
0.07	0.00	0.08	0.00	9.00	0.00	10.48	80.00
0.08	0.00	0.09	0.00	10.48	0.00	12.21	80.00
0.09	0.00	0.11	0.00	12.21	0.19	14.22	80.19
0.11	0.00	0.13	0.00	14.22	0.42	16.57	80.61
0.13	0.00	0.15	0.00	16.57	0.77	19.31	81.38
0.15	0.00	0.17	0.00	19.31	1.12	22.49	82.50
0.17	0.00	0.20	0.00	22.49	1.34	26.20	83.84
0.20	0.00	0.23	0.00	26.20	1.40	30.53	85.24
0.23	0.00	0.27	0.00	30.53	1.32	35.56	86.56
0.27	0.00	0.31	0.00	35.56	1.15	41.43	87.71
0.31	0.00	0.36	0.00	41.43	0.92	48.27	88.63
0.36	0.00	0.42	0.00	48.27	0.68	56.23	89.31
0.42	0.01	0.49	0.01	56.23	0.46	65.51	89.77
0.49	0.13	0.58	0.14	65.51	0.28	76.32	90.05
0.58	2.68	0.67	2.82	76.32	0.15	88.91	90.20
0.67	10.77	0.78	13.59	88.91	0.06	103.58	90.26
0.78	33.47	0.91	47.06	103.58	0.01	120.67	90.27
0.91	26.00	1.06	73.06	120.67	0.00	140.58	90.27
1.06	6.11	1.24	79.17	140.58	0.00	163.77	90.27
1.24	0.70	1.44	79.88	163.77	0.00	190.80	90.27
1.44	0.11	1.68	79.99	190.80	0.00	222.28	90.27
1.68	0.01	1.95	80.00	222.28	0.19	258.95	90.46
1.95	0.00	2.28	80.00	258.95	0.48	301.68	90.94
2.28	0.00	2.65	80.00	301.68	0.92	351.46	91.86
2.65	0.00	3.09	80.00	351.46	1.56	409.45	93.42
3.09	0.00	3.60	80.00	409.45	2.32	477.01	95.74
3.60	0.00	4.19	80.00	477.01	2.56	555.71	98.30
4.19	0.00	4.88	80.00	555.71	1.42	647.41	99.72
4.88	0.00	5.69	80.00	647.41	0.28	754.23	100.00
5.69	0.00	6.63	80.00	754.23	0.00	878.67	100.00



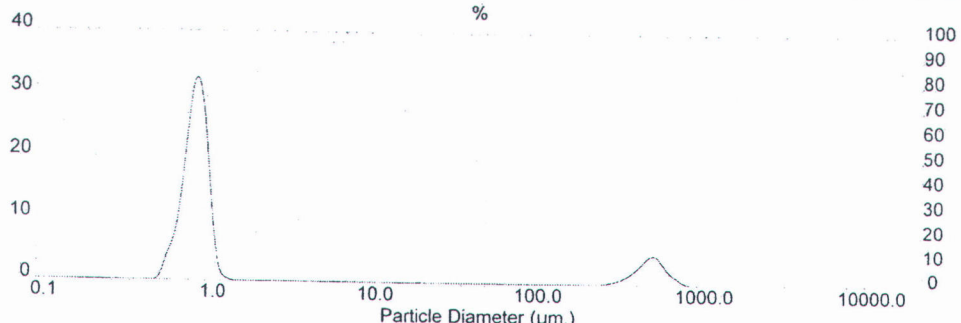
ตาราง ข 23 ผลของขนาดอนุภาคที่ความเร็วรอบ 40 rpm เวลา 40 นาที



ศูนย์เครื่องมือวิจัยวิทยาศาสตร์และเทคโนโลยีชีวภาพ จุฬาลงกรณ์มหาวิทยาลัย
ห้าชั้นสองชั้น ชั้น 52 ถ.พญาไท ปทุมวัน กรุงเทพฯ 10330 โทร. 2188029-32, 2188101 โทรสาร 21842771
Scientific and Technological Research Equipment Centre Chulalongkorn University
Building 2-3 Chula Soi 52 Phaya-Thai Rd. Phatumwan Bangkok 10330 Tel: 2188029-32, 2188101 Fax: 21842771

Result: Analysis Report

Sample Details				System Details			
Sample ID: 40 rpm 40 min	Run Number: 9	Record Number: 1232		Measured: Mon Feb 1 2010 10:02AM			
Sample File: CHULA12				Analysed: Mon Feb 1 2010 10:02AM			
Sample Path: C:\SIZERS\DATA\				Result Source: Analysed			
Sample Notes: 40 rpm 40 min							
wet analysis system							
dispersing medium : water							
Range Lens: 300RF mm	Beam Length: 2.40 mm	Sampler: MS1	Obscuration: 11.1 %				
Presentation: 30HD	[Particle R.I. = (1.5295, 0.1000); Dispersant R.I. = 1.3300]		Residual: 4.016 %				
Analysis Model: Polydisperse							
Modifications: None							
Result Statistics							
Distribution Type: Volume	Concentration = 0.0020 %Vol	Density = 1.000 g / cub. cm	Specific S.A. = 5.9798 sq. m / g				
Mean Diameters:	D (v, 0.1) = 0.71 um	D (v, 0.5) = 0.91 um	D (v, 0.9) = 441.20 um				
D [4, 3] = 73.31 um	D [3, 2] = 1.00 um	Span = 4.864E+02	Uniformity = 8.009E+01				
Size Low (um)	In %	Size High (um)	Under%	Size Low (um)	In %	Size High (um)	Under%
0.05	0.00	0.06	0.00	6.63	0.00	7.72	85.02
0.06	0.00	0.07	0.00	7.72	0.00	9.00	85.02
0.07	0.00	0.08	0.00	9.00	0.00	10.48	85.02
0.08	0.00	0.09	0.00	10.48	0.00	12.21	85.02
0.09	0.00	0.11	0.00	12.21	0.00	14.22	85.02
0.11	0.00	0.13	0.00	14.22	0.00	16.57	85.02
0.13	0.00	0.15	0.00	16.57	0.00	19.31	85.02
0.15	0.00	0.17	0.00	19.31	0.00	22.49	85.02
0.17	0.00	0.20	0.00	22.49	0.00	26.20	85.02
0.20	0.00	0.23	0.00	26.20	0.00	30.53	85.02
0.23	0.00	0.27	0.00	30.53	0.00	35.56	85.02
0.27	0.00	0.31	0.00	35.56	0.00	41.43	85.02
0.31	0.00	0.36	0.00	41.43	0.00	48.27	85.02
0.36	0.00	0.42	0.00	48.27	0.00	56.23	85.02
0.42	0.05	0.49	0.05	56.23	0.00	65.51	85.02
0.49	0.56	0.58	0.61	65.51	0.00	76.32	85.02
0.58	5.38	0.67	5.98	76.32	0.00	88.91	85.02
0.67	14.43	0.78	20.42	88.91	0.00	103.58	85.02
0.78	30.73	0.91	51.15	103.58	0.00	120.67	85.02
0.91	27.18	1.06	78.33	120.67	0.00	140.58	85.02
1.06	6.17	1.24	84.50	140.58	0.00	163.77	85.02
1.24	0.51	1.44	85.01	163.77	0.00	190.80	85.02
1.44	0.01	1.68	85.02	190.80	0.00	222.28	85.02
1.68	0.00	1.95	85.02	222.28	0.06	258.95	85.08
1.95	0.00	2.28	85.02	258.95	0.34	301.68	85.42
2.28	0.00	2.65	85.02	301.68	0.91	351.46	86.33
2.65	0.00	3.09	85.02	351.46	2.04	409.45	88.37
3.09	0.00	3.60	85.02	409.45	3.78	477.01	92.15
3.60	0.00	4.19	85.02	477.01	4.58	555.71	96.73
4.19	0.00	4.88	85.02	555.71	2.38	647.41	99.12
4.88	0.00	5.69	85.02	647.41	0.88	754.23	100.00
5.69	0.00	6.63	85.02	754.23	0.00	878.67	100.00



Malvern Instruments Ltd.
Malvern, UK
Tel: +[44] (0)1684-892456 Fax: +[44] (0)1684-892789

Mastersizer S long bed Ver. 2.19
Serial Number:

p. 18
03 Feb 10 15:26

ตาราง ข 24 ผลของขนาดอนุภาคที่ความเร็วรอบ 50 rpm เวลา 5 นาที



ศูนย์เครื่องมือวิจัยวิทยาศาสตร์และเทคโนโลยี จุฬาลงกรณ์มหาวิทยาลัย
อาคารหอด้านซ้าย ชั้น 82 ถนนพญาไท แขวงวังบูรพาภิรมย์ กรุงเทพฯ 10330 โทร. 2188029-32, 2188101 โทรสาร 2184071
Scientific and Technological Research Equipment Centre Chulalongkorn University
Building 2-3 Chula Soi 82 Phaya-Thai Rd. Phatumwan Bangkok 10330 Tel. 2188029-32, 2188101 Fax. 2184071

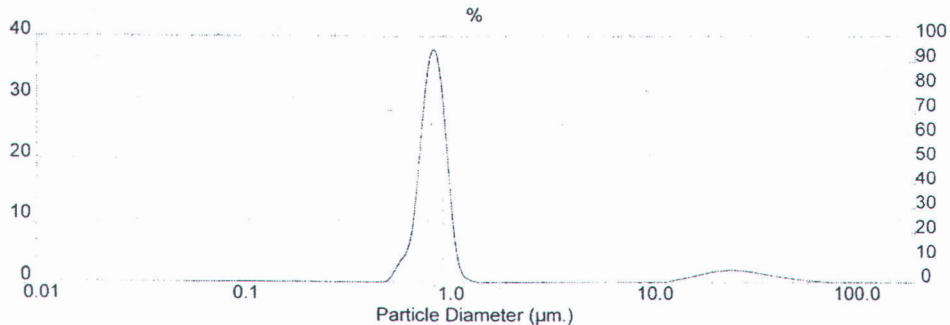
Result: Analysis Report

Sample Details		
Sample ID: 50 rpm 5 min	Run Number: 5	Measured: Mon Feb 1 2010 9:46AM
Sample File: CHULA12	Record Number: 1220	Analysed: Mon Feb 1 2010 9:46AM
Sample Path: C:\SIZERS\DATA\		Result Source: Analysed
Sample Notes: 50 rpm 5 min wet analysis system dispersing medium : water		

System Details			
Range Lens: 300RF mm	Beam Length: 2.40 mm	Sampler: MS1	Obscuration: 11.6 %
Presentation: 30HD	[Particle R.I. = (1.5295, 0.1000); Dispersant R.I. = 1.3300]		
Analysis Model: Polydisperse			Residual: 2.398 %
Modifications: None			

Result Statistics					
Distribution Type: Volume	Concentration = 0.0020 %Vol	Density = 1.000 g / cub. cm	Specific S.A. = 6.0026 sq. m / g		
Mean Diameters:	D (v, 0.1) = 0.76 μ m	D (v, 0.5) = 0.92 μ m	D (v, 0.9) = 19.66 μ m		
D [4, 3] = 4.50 μ m	D [3, 2] = 1.00 μ m	Span = 2.062E+01	Uniformity = 4.027E+00		

Size Low (μ m)	In %	Size High (μ m)	Under%	Size Low (μ m)	In %	Size High (μ m)	Under%
0.05	0.00	0.06	0.00	6.63	0.00	7.72	87.37
0.06	0.00	0.07	0.00	7.72	0.00	9.00	87.37
0.07	0.00	0.08	0.00	9.00	0.00	10.48	87.37
0.08	0.00	0.09	0.00	10.48	0.00	12.21	87.37
0.09	0.00	0.11	0.00	12.21	0.37	14.22	87.74
0.11	0.00	0.13	0.00	14.22	0.77	16.57	88.51
0.13	0.00	0.15	0.00	16.57	1.30	19.31	89.81
0.15	0.00	0.17	0.00	19.31	1.74	22.49	91.55
0.17	0.00	0.20	0.00	22.49	1.94	26.20	93.49
0.20	0.00	0.23	0.00	26.20	1.86	30.53	95.35
0.23	0.00	0.27	0.00	30.53	1.58	35.56	96.93
0.27	0.00	0.31	0.00	35.56	1.18	41.43	98.11
0.31	0.00	0.36	0.00	41.43	0.84	48.27	98.95
0.36	0.00	0.42	0.00	48.27	0.56	56.23	99.51
0.42	0.02	0.49	0.02	56.23	0.33	65.51	99.84
0.49	0.20	0.58	0.22	65.51	0.16	76.32	100.00
0.58	3.36	0.67	3.58	76.32	0.00	88.91	100.00
0.67	10.40	0.78	13.98	88.91	0.00	103.58	100.00
0.78	34.26	0.91	48.24	103.58	0.00	120.67	100.00
0.91	32.01	1.06	80.24	120.67	0.00	140.58	100.00
1.06	6.59	1.24	86.83	140.58	0.00	163.77	100.00
1.24	0.52	1.44	87.35	163.77	0.00	190.80	100.00
1.44	0.02	1.68	87.37	190.80	0.00	222.28	100.00
1.68	0.00	1.95	87.37	222.28	0.00	258.95	100.00
1.95	0.00	2.28	87.37	258.95	0.00	301.68	100.00
2.28	0.00	2.65	87.37	301.68	0.00	351.46	100.00
2.65	0.00	3.09	87.37	351.46	0.00	409.45	100.00
3.09	0.00	3.60	87.37	409.45	0.00	477.01	100.00
3.60	0.00	4.19	87.37	477.01	0.00	555.71	100.00
4.19	0.00	4.88	87.37	555.71	0.00	647.41	100.00
4.88	0.00	5.69	87.37	647.41	0.00	754.23	100.00
5.69	0.00	6.63	87.37	754.23	0.00	878.67	100.00



ตาราง ข 25 ผลของขนาดอนุภาคที่ความเร็วรอบ 50 rpm เวลา 20 นาที



ศูนย์เครื่องมือวิจัยพัฒนาศศรและเทคโนโลยี จุฬาลงกรณ์มหาวิทยาลัย
อาคารสถาบัน 2 ถนนพญาไท แขวงป้อมปราบ กรุงเทพฯ 10330 ไทย โทร 2188029-32, 2188101 โทรสาร 2646111
Scientific and Technological Research Equipment Centre Chulalongkorn University
Building 2-3 Chula Soi 62 Phaya-Thai Rd. Phatumwan Bangkok 10330 Tel. 2188029-32, 2188101 Fax. 2646111

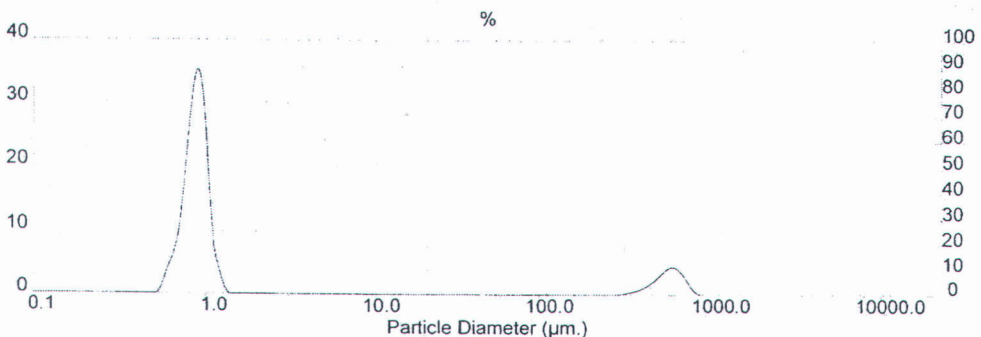
Result: Analysis Report

Sample Details			
Sample ID: 50 rpm 20 min	Run Number: 4		Measured: Mon Feb 1 2010 10:00AM
Sample File: CHULA12	Record Number: 1228		Analysed: Mon Feb 1 2010 10:00AM
Sample Path: C:\SIZERS\DATA\			Result Source: Analysed
Sample Notes: 50 rpm 20 min wet analysis system dispersing medium : water			

System Details			
Range Lens: 300RF mm	Beam Length: 2.40 mm	Sampler: MS1	Obscuration: 10.9 %
Presentation: 30HD	[Particle R.I. = (1.5295, 0.1000); Dispersant R.I. = 1.3300]		
Analysis Model: Polydisperse			Residual: 3.418 %
Modifications: None			

Result Statistics			
Distribution Type: Volume	Concentration = 0.0019 %Vol	Density = 1.000 g / cub. cm	Specific S.A. = 6.0763 sq. m / g
Mean Diameters:	D (v, 0.1) = 0.72 um	D (v, 0.5) = 0.90 um	D (v, 0.9) = 437.93 um
D [4, 3] = 67.86 um	D [3, 2] = 0.99 um	Span = 4.851E+02	Uniformity = 7.443E+01

Size Low (um)	In %	Size High (um)	Under%	Size Low (um)	In %	Size High (um)	Under%
0.05	0.00	0.06	0.00	6.63	0.00	7.72	86.52
0.06	0.00	0.07	0.00	7.72	0.00	9.00	86.52
0.07	0.00	0.08	0.00	9.00	0.00	10.48	86.52
0.08	0.00	0.09	0.00	10.48	0.00	12.21	86.52
0.09	0.00	0.11	0.00	12.21	0.00	14.22	86.52
0.11	0.00	0.13	0.00	14.22	0.00	16.57	86.52
0.13	0.00	0.15	0.00	16.57	0.00	19.31	86.52
0.15	0.00	0.17	0.00	19.31	0.00	22.49	86.52
0.17	0.00	0.20	0.00	22.49	0.00	26.20	86.52
0.20	0.00	0.23	0.00	26.20	0.00	30.53	86.52
0.23	0.00	0.27	0.00	30.53	0.00	35.56	86.52
0.27	0.00	0.31	0.00	35.56	0.00	41.43	86.52
0.31	0.00	0.36	0.00	41.43	0.00	48.27	86.52
0.36	0.00	0.42	0.00	48.27	0.00	56.23	86.52
0.42	0.04	0.49	0.04	56.23	0.00	65.51	86.52
0.49	0.48	0.58	0.52	65.51	0.00	76.32	86.52
0.58	5.14	0.67	5.66	76.32	0.00	88.91	86.52
0.67	14.20	0.78	19.86	88.91	0.00	103.58	86.52
0.78	32.52	0.91	52.39	103.58	0.00	120.67	86.52
0.91	27.94	1.06	80.33	120.67	0.00	140.58	86.52
1.06	5.76	1.24	86.09	140.58	0.00	163.77	86.52
1.24	0.43	1.44	86.52	163.77	0.00	190.80	86.52
1.44	0.01	1.68	86.52	190.80	0.00	222.28	86.52
1.68	0.00	1.95	86.52	222.28	0.01	258.95	86.53
1.95	0.00	2.28	86.52	258.95	0.22	301.68	86.75
2.28	0.00	2.65	86.52	301.68	0.64	351.46	87.39
2.65	0.00	3.09	86.52	351.46	1.49	409.45	88.88
3.09	0.00	3.60	86.52	409.45	3.03	477.01	91.91
3.60	0.00	4.19	86.52	477.01	4.39	555.71	96.30
4.19	0.00	4.88	86.52	555.71	3.15	647.41	99.44
4.88	0.00	5.69	86.52	647.41	0.56	754.23	100.00
5.69	0.00	6.63	86.52	754.23	0.00	878.67	100.00



Malvern Instruments Ltd.
Malvern, UK
Tel: +(44) (0)1684-892456 Fax: +(44) (0)1684-892789

Mastersizer S long bed Ver. 2.19
Serial Number:

p.
03 Feb 10 15



ตาราง ข 26 ผลของขนาดอนุภาคที่ความเร็วروب 50 rpm เวลา 40 นาที



ศูนย์เครื่องมือวิจัยวิทยาศาสตร์และเทคโนโลยี
ค่าครองใช้ปี 2 ชุมชนกน ชลธร 2 ถนนพญาไท แขวงวันดิน เขตจตุจักร กรุงเทพฯ 10330 โทร. 2188029-32, 2188101
Scientific and Technological Research Equipment Centre Chulalongkorn University
Building 2-3 Chula Soi 62 Phaya Thai Rd Phatumwan Bangkok 10330 Tel. 2188029-32, 2188101 Fax 2543213

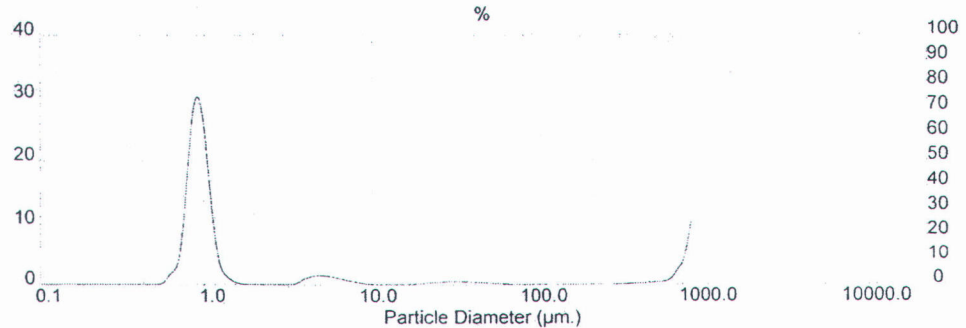
Result: Analysis Report

Sample Details		
Sample ID: 50 rpm 40 min	Run Number: 2	Measured: Mon Feb 1 2010 10:33AM
Sample File: CHULA12	Record Number: 1286	Analysed: Mon Feb 1 2010 10:33AM
Sample Path: C:\SIZERS\DATA\		Result Source: Analysed
Sample Notes: 50 rpm 40 min wet analysis system dispersing medium : water		

System Details			
Range Lens: 300RF mm	Beam Length: 2.40 mm	Sampler: MS1	Obscuration: 11.3 %
Presentation: 30HD	[Particle R.I. = (1.5295, 0.1000); Dispersant R.I. = 1.3300]		
Analysis Model: Polydisperse			Residual: 2.000 %
Modifications: None			

Result Statistics			
Distribution Type: Volume	Concentration = 0.0023 %Vol	Density = 1.000 g / cub. cm	Specific S.A. = 4.9202 sq. m / g
Mean Diameters:	D (v, 0.1) = 0.79 um	D (v, 0.5) = 0.98 um	D (v, 0.9) = 783.23 um
D [4, 3] = 133.50 um	D [3, 2] = 1.22 um	Span = 7.972E+02	Uniformity = 1.351E+02

Size Low (um)	In %	Size High (um)	Under%	Size Low (um)	In %	Size High (um)	Under%
0.05	0.00	0.06	0.00	6.63	0.74	7.72	78.91
0.06	0.00	0.07	0.00	7.72	0.37	9.00	79.28
0.07	0.00	0.08	0.00	9.00	0.12	10.48	79.39
0.08	0.00	0.09	0.00	10.48	0.01	12.21	79.40
0.09	0.00	0.11	0.00	12.21	0.00	14.22	79.40
0.11	0.00	0.13	0.00	14.22	0.00	16.57	79.40
0.13	0.00	0.15	0.00	16.57	0.13	19.31	79.53
0.15	0.00	0.17	0.00	19.31	0.31	22.49	79.84
0.17	0.00	0.20	0.00	22.49	0.45	26.20	80.29
0.20	0.00	0.23	0.00	26.20	0.54	30.53	80.83
0.23	0.00	0.27	0.00	30.53	0.54	35.56	81.37
0.27	0.00	0.31	0.00	35.56	0.48	41.43	81.86
0.31	0.00	0.36	0.00	41.43	0.38	48.27	82.23
0.36	0.00	0.42	0.00	48.27	0.25	56.23	82.49
0.42	0.00	0.49	0.00	56.23	0.16	65.51	82.65
0.49	0.08	0.58	0.06	65.51	0.00	76.32	82.65
0.58	1.73	0.67	1.81	76.32	0.00	88.91	82.65
0.67	6.81	0.78	8.63	88.91	0.00	103.58	82.65
0.78	26.55	0.91	35.17	103.58	0.00	120.67	82.65
0.91	26.85	1.06	62.03	120.67	0.00	140.58	82.65
1.06	9.22	1.24	71.24	140.58	0.00	163.77	82.65
1.24	1.64	1.44	72.88	163.77	0.00	190.80	82.65
1.44	0.40	1.68	73.28	190.80	0.00	222.28	82.65
1.68	0.06	1.95	73.34	222.28	0.00	258.95	82.65
1.95	0.00	2.28	73.34	258.95	0.00	301.68	82.65
2.28	0.00	2.65	73.34	301.68	0.08	351.46	82.73
2.65	0.00	3.09	73.34	351.46	0.20	409.45	82.93
3.09	0.00	3.60	73.34	409.45	0.30	477.01	83.24
3.60	0.77	4.19	74.11	477.01	0.47	555.71	83.71
4.19	1.41	4.88	75.52	555.71	1.02	647.41	84.73
4.88	1.48	5.69	77.00	647.41	3.36	754.23	88.09
5.69	1.17	6.63	78.16	754.23	11.91	878.67	100.00



ตาราง ข 27 ผลของปริมาณDAHP ต่อการลดปริมาณแมกนีเซียมอิโอนในน้ำยางสด

DAHP(g)	แมกนีเซียมที่เหลือ(ppm)
155.5000	35
77.7500	123
51.8333	253

ส่วนที่ 2

ตาราง ข 28 ผลของการเติมปริมาตรไดอะฟิลเตอร์ชั้น ที่ความเร็วรอบเยื่อแผ่น 600 rpm ต่อเพอร์มิ เอกซันฟลักซ์ และเปอร์เซ็นต์การกักเก็บ

%DRC เริ่มต้น 19%

ปริมาตร ไดอะฟิล เตอร์ชั้น	ผลต่าง ¹ เวลา (นาที)	เวลา (นาที)	เพอร์มิ เอกซัน ฟลักซ์ (ลิตร/ เมตร ² . ชั่วโมง)	นน. น้ำยาง (กรัม)	นน.น้ำยาง สด(กรัม)	นน. แห้ง รวม (กรัม)	% DRC เพอร์มิ เอด	% การ กักเก็บ
1	4.0	4.0	1041.67	10.2352	10.1463	4.4401	5.7107	69.94
2	5.0	9.0	833.33	10.3231	10.1322	4.2823	4.1854	77.97
3	5.5	14.5	757.58	10.2131	10.2110	4.2498	3.6191	80.95
4	5.5	20.0	757.58	10.7251	10.1320	4.2388	3.6236	80.93

ตาราง ข 29 ผลของการเติมปริมาตรไดอะฟิลเตอร์ชั้น ที่ความเร็วรอบเยื่อแผ่น 900 rpm ต่อเพอร์มิ เอกซันฟลักซ์ และเปอร์เซ็นต์การกักเก็บ

%DRC เริ่มต้น 19%

ปริมาตร ไดอะฟิล เตอร์ชั้น	ผลต่าง ¹ เวลา (นาที)	เวลา (นาที)	เพอร์มิ เอกซันฟ ลักซ์(ลิตร/ เมตร ² . ชั่วโมง)	นน.น้ำยาง (กรัม)	นน.น้ำยาง สด(กรัม)	นน. แห้ง รวม (กรัม)	% DRC เพอร์มิ เอด	% การ กักเก็บ
1	2.7	2.7	1543.21	10.2567	10.1523	4.4342	5.6190	70.43
2	3.8	6.5	1096.49	10.3784	10.1242	4.2623	3.9997	78.95
3	4.8	11.3	868.06	10.1843	10.1452	4.2014	3.3996	82.11
4	5.0	16.3	833.33	10.1410	10.0871	4.1209	2.8380	85.06
5	5.0	21.3	833.33	10.1929	10.5872	4.3121	2.8350	85.08



ตาราง ข 30 ผลของการเติมปริมาตร์ไดอะฟิลเตอร์ชั้น ที่ความเร็วรอบเยื่อแผ่น 1200 rpm ต่อเพอร์觅โชน์ฟลักซ์ และเบอร์เช่นต์การกักเก็บ

ปริมาตร์ ไดอะฟิลเตอร์ชั้น	ผลต่าง ^{เวลา} (นาที)	เวลา (นาที)	เพอร์觅โชน์ฟลักซ์ (ลิตร/ ^{เมตร²} . ชั่วโมง)	นน.น้ำยาง (กรัม)	นน.น้ำยาง สด(กรัม)	นน. แห้ง รวม (กรัม)	% DRC เพอร์觅โชน์ เอต	% การ กักเก็บ
1	1.0	1.0	4166.67	10.2342	10.2314	4.2662	3.6961	80.55
2	1.3	2.3	3205.13	10.2543	10.2542	4.2524	3.4698	81.74
3	1.6	3.9	2604.17	10.5736	10.3562	4.2423	2.9029	84.72
4	2.0	5.9	2083.33	10.2483	10.1495	4.1401	2.7643	85.45
5	2.5	8.4	1666.67	10.5426	10.3625	4.2122	2.6032	86.30
6	2.8	11.2	1488.10	10.4212	10.4513	4.2231	2.4144	87.29
7	3.2	14.4	1302.08	10.6349	10.4197	4.2042	2.3010	87.89
8	3.6	18.0	1157.41	10.4234	10.2693	4.1351	2.2331	88.25
9	4.5	22.5	925.93	10.1247	10.2954	4.1232	2.0835	89.03
10	4.5	27.0	925.93	10.7542	10.1995	4.0998	2.0828	89.04

ตาราง ข 31 ผลของการเติมปริมาตร์ไดอะฟิลเตอร์ชั้น ที่ความเร็วรอบเยื่อแผ่น 600 rpm ต่อความเข้มข้นของแมกนีเซียมที่เหลือในถังปั๊บอน

ปริมาตร์	เวลา (นาที)	นน.น้ำยาง (กรัม)	EDTA(มิลลิลิตร)	ความเข้มข้นของ แมกนีเซียม(ppm)
1	4.0	3.63	1.7	247.50
2	9.0	4.22	1.7	212.89
3	14.5	3.83	1.4	193.18
4	20.0	3.65	1.3	188.23

ตาราง ข 32 ผลของการเติมปริมาตรไดอะฟิลเตอร์ชั้นที่ความเร็วรอบเยื่อแผ่น 900 rpm ต่อความเข้มข้นของแมกนีเซียมที่เหลือในถังป้อน

ปริมาตร	เวลา (นาที)	นน.น้ำยา (กรัม)	EDTA(มิลลิลิตร)	ความเข้มข้นของแมกนีเซียม(ppm)
1	2.7	3.24	1.5	244.67
2	6.5	3.32	1.3	206.93
3	11.3	4.03	1.4	183.59
4	16.3	3.83	1.3	179.38
5	21.3	4.07	1.3	168.80

ตาราง ข 33 ผลของการเติมปริมาตรไดอะฟิลเตอร์ชั้นที่ความเร็วรอบเยื่อแผ่น 1200 rpm ต่อความเข้มข้นของแมกนีเซียมที่เหลือในถังป้อน

ปริมาตร	เวลา (นาที)	นน.น้ำยา (กรัม)	EDTA(มิลลิลิตร)	ความเข้มข้นของแมกนีเซียม(ppm)
1	1.0	3.54	1.6	238.86
2	2.3	3.59	1.5	220.81
3	3.9	3.40	1.3	202.07
4	5.9	3.94	1.4	187.78
5	8.4	3.72	1.2	170.48
6	11.2	3.59	1.1	161.93
7	14.2	3.77	1.1	154.20
8	17.7	3.74	1.0	141.30
9	22.2	4.09	1.0	129.21
10	26.7	4.36	1.0	121.21

ตาราง ข 34 ผลของความเร็วตอบต่อค่าความต้านทานรวม ความต้านทานในเยื่อแผ่นและความต้านทานที่ผิวเยื่อแผ่น

ความเร็วตอบของเยื่อแผ่น (รอบต่อนาที)	ความต้านทานรวม $R_T \times 10^{11}$ (1/m)	ความต้านทานในเยื่อแผ่น $R_i \times 10^{11}$ (1/m)	ความต้านทานของที่ผิวของเยื่อแผ่น $R_c \times 10^{11}$ (1/m)
600	2.6	1.18	1.28
900	1.85	0.74	1.03
1200	1.3	0.53	0.65

ภาคผนวก ค

ภาคผนวก ค 1 ดูลปริมาณ Mg^{2+} จากสมการปฏิกิริยา

Basis: น้ำยางสต 12 กิโลกรัม

- มีความเข้มข้นของ Mg^{2+} เริ่มต้นเท่ากับ 600 ppm หมายความว่า

$$\text{น้ำยางสต} \quad 10^6 \text{ กรัม จะมี } Mg^{2+} \text{ ออยู่ } 600 \text{ กรัม}$$

$$\text{ถ้า } \text{น้ำยางสต} \quad 12000 \text{ กรัม จะมี } Mg^{2+} \text{ ออยู่ } \frac{12000 \times 600}{10^6} = 7.2 \text{ กรัม}$$

- ความเข้มข้นของ Mg^{2+} ที่เหลือเท่ากับ 35 ppm หมายความว่า

$$\text{น้ำยางสต} \quad 10^6 \text{ กรัม จะมี } Mg^{2+} \text{ ออยู่ } 35 \text{ กรัม}$$

$$\text{ถ้า } \text{น้ำยางสต} \quad 12000 \text{ กรัม จะมี } Mg^{2+} \text{ ออยู่ } \frac{12000 \times 35}{10^6} = 0.42 \text{ กรัม}$$

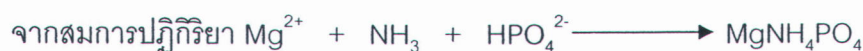
$$\text{ดังนั้น } Mg^{2+} \text{ ทำปฏิกิริยาไป} = Mg^{2+} \text{ เริ่มต้น} - Mg^{2+} \text{ ที่เหลือ}$$

$$= 7.2 - 0.42$$

$$= 6.78 \text{ กรัม}$$

$$\text{มวลโมเลกุลของ } Mg^{2+} \text{ คือ } 24.31$$

$$\text{ดังนั้น } Mg^{2+} \text{ ทำปฏิกิริยาไป} = 6.78/24.31 = 0.2789 \text{ มิล}$$



พบว่าต้องมีสัดเจ็กอีก 0.2789 มิล ด้วย

$$\text{มวลโมเลกุลของสัดเจ็ก คือ } 137.31$$

$$\text{ดังนั้น } \text{ต้องมีสัดเจ็กอีก} = 137.31 \times 0.2789 = 38.3 \text{ กรัม}$$

แต่จากการทดลอง ยกตัวอย่างที่ 50 rpm ที่เวลา 40 นาที พบร่วม

- มีสัดเจ็กอีก 0.2308 กรัม จากน้ำยางสต 50 กรัม หมายความว่า

$$\text{น้ำยางสต} \quad 50 \text{ กรัม จะมีปริมาณสัดเจ็กอยู่ } 0.2308 \text{ กรัม}$$

$$\text{ถ้า } \text{น้ำยางสต} \quad 12000 \text{ กรัม จะมีปริมาณสัดเจ็กอยู่ } \frac{12000 \times 0.2308}{50} = 55.392 \text{ กรัม}$$

จากสมการปฏิกิริยาข้างต้น ต้องมีสัดเจ็กที่เกิดขึ้น 38.3 กรัม แต่จากการทดลองมีสัดเจ็กที่เกิดขึ้น 55.4 กรัมแสดงว่ามีอนุภาคยางบางส่วนมากage กับสัดเจ็กทำให้มีปริมาณมากขึ้น

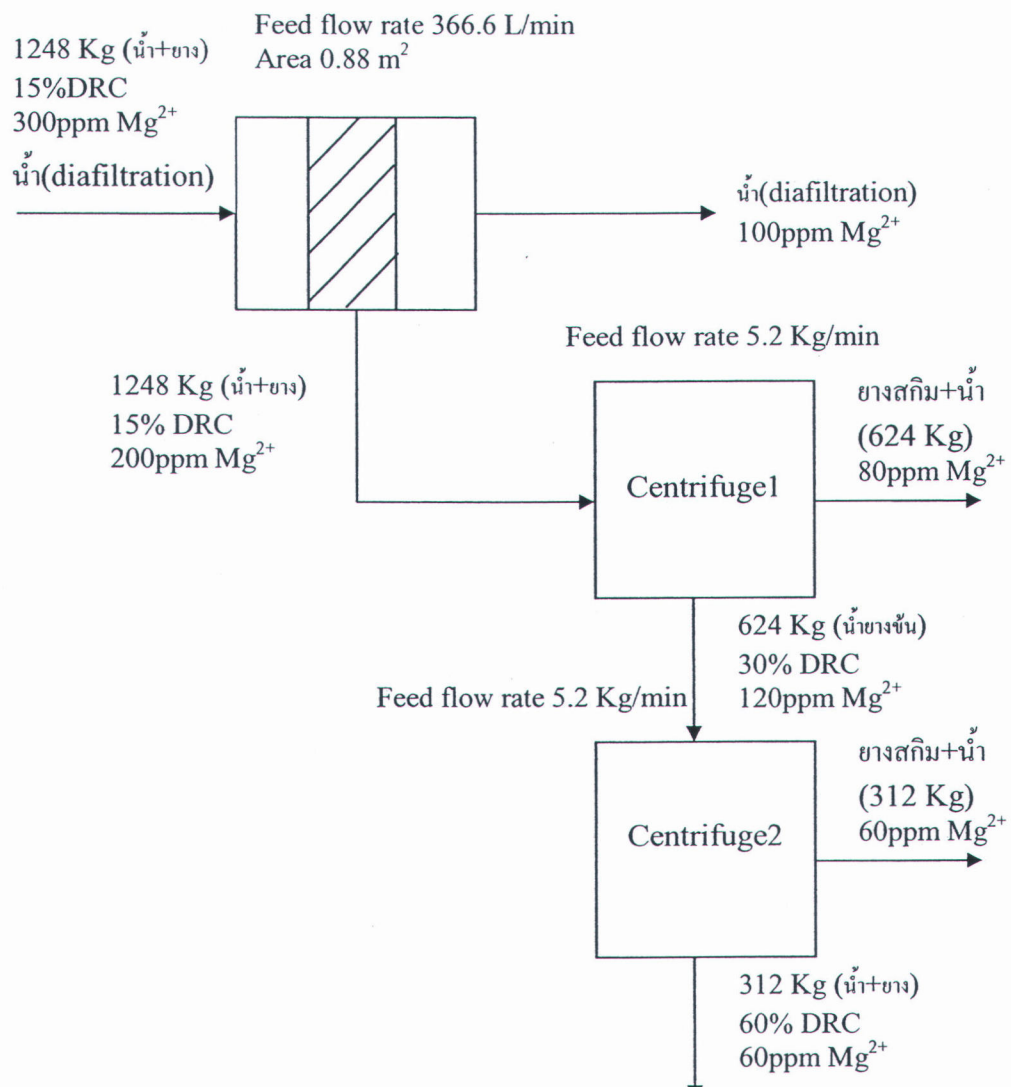
ภาคผนวก ค 2 การเปรียบเทียบอัตราการผลิตน้ำยางขั้นของ 3 วิธี คือ

1. วิธีดังเดิมของโรงงาน (ใช้สารละลาย DAHP ตกลະกอนแมกนีเซียมในน้ำยางสด กวนด้วยตัวกรองรูปตัวที ที่ความเร็วรอบ 30 rpm เป็นเวลา 40 นาที)
2. วิธีของโรงงาน โดยเปลี่ยนตัวกรอง และการที่ภาชนะที่เหมาะสม (ใช้สารละลาย DAHP ตกลະกอนแมกนีเซียมในน้ำยางสด กวนด้วยตัวกรองชนิด High Efficiency Impeller ที่ความเร็วรอบ 50 rpm เป็นเวลา 40 นาที)
3. กระบวนการโดยไฟลเตอร์ชั้นร่วมกับการกรองชนิดเยื่อแผ่นหมุนได้ (ไม่ใช้สารละลาย DAHP ในกระบวนการตกลະกอนแมกนีเซียม)

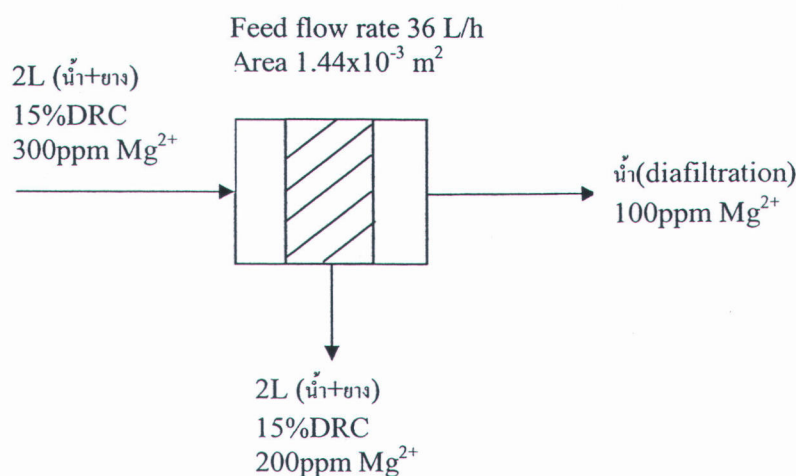
Basis : เครื่องเซนติฟิวส์ 1 เครื่องสามารถรับน้ำยางสดได้ 70 กิโลกรัม

วิธีที่ 1 น้ำยางสดถูกส่งเข้าบ่อพักน้ำยางสด เติมDAHP กวนที่ความเร็วรอบ 30 rpm เป็นเวลา 40 นาที ตั้งทิ้งไว้ประมาณ 8 ชั่วโมงเพื่อตกลະกอน แล้วเข้าเครื่องเซนติฟิวส์ 1 เครื่อง ด้วยอัตราการไหลของสายป้อน 5.2 กิโลกรัม/นาที โดยหยุดพักเครื่องเซนติฟิวส์ทุก 2 ชั่วโมง เพื่อล้างตະกอนซึ่งแบ่งที่ไปอุดตันเครื่องเซนติฟิวส์ โดยใช้เวลาในการล้างตະกอนซึ่งแบ่ง 1 ชั่วโมง ตั้งนั้นเวลารวมตลอดกระบวนการ คือ 11 ชั่วโมง 40 นาทีได้น้ำยางขั้น 312 กิโลกรัมต่อเครื่อง แต่โรงงานมีเครื่องเซนติฟิวส์ 20 เครื่อง จึงได้น้ำยางขั้นทั้งหมด 6240 กิโลกรัม หรือ 6 ตัน 240 กิโลกรัม อัตราการเกิดผลิตภัณฑ์ คือ 0.45 กิโลกรัมต่อนาทีต่อเซนติฟิวส์ 1 เครื่อง

วิธีที่ 2 น้ำยางสดถูกส่งเข้าบ่อพักน้ำยางสด เติมDAHP กวนที่ความเร็วรอบ 50 rpm เป็นเวลา 40 นาที ตั้งทิ้งไว้ประมาณ 8 ชั่วโมงเพื่อตกลະกอน แล้วเข้าเครื่องเซนติฟิวส์ ด้วยอัตราการไหลของสายป้อน 5.2 กิโลกรัม/นาที โดยหยุดพักเครื่องเซนติฟิวส์ทุก 3 ชั่วโมง 34 นาที เพื่อล้างตະกอนซึ่งแบ่งที่ไปอุดตันเครื่องเซนติฟิวส์ ใช้เวลาในการล้าง 1 ชั่วโมง ตั้งนั้นเวลารวมตลอดกระบวนการ คือ 13 ชั่วโมง 14 นาที ได้น้ำยางขั้นทั้งหมด 556.4 กิโลกรัม แต่โรงงานมีเครื่องเซนติฟิวส์ 20 เครื่อง จึงได้น้ำยางขั้นทั้งหมด 11128 กิโลกรัม หรือ 11 ตัน 128 กิโลกรัม อัตราการเกิดผลิตภัณฑ์ คือ 0.7 กิโลกรัมต่อนาทีต่อเซนติฟิวส์ 1 เครื่อง



จากกระบวนการทัด浪ในระดับแลปสเกลจะได้ดังรูป



ต้องการเหลือแมกนีเซียมประมาณ 200 ppm ก่อนเข้าเครื่อง centrifuge

จากตาราง ข 33 พบว่าต้องใช้ปริมาตรไดอะฟิลเตอร์ชั้นประมาณ 4 ปริมาตรไดอะฟิลเตอร์ชั้น และใช้เวลาในการทำไดอะฟิลเตอร์ชั้น 5 นาที

$$\text{Flux ที่ได้คือ } 2083 \frac{L}{m^2 \cdot h} \times 5 \text{ min} \times \frac{1h}{60 \text{ min}} \times 1.44 \times 10^{-3} m^2 = 0.24 L$$

เริ่มต้นน้ำยางสด 2 L ได้ flux 0.24 L

$$\text{เริ่มน้ำยางสด } 1248 \text{ Kg} = \frac{1248 \text{ Kg}}{980 \frac{\text{Kg}}{m^3}} = 1273.5 \text{ L} \text{ ได้ flux } \frac{1273.5 \times 0.24}{2} = 152.8 \text{ L}$$

$$\text{แต่ flux ต้องได้ } 2083 \frac{L}{m^2 \cdot h}$$

$$\text{ดังนั้น } 2083 \frac{L}{m^2 \cdot h} = \frac{152.8L}{0.083h(X)} : X \text{ คือ พื้นที่ตัวกรอง } (m^2),$$

เวลาในการทำไดอะฟิลเตอร์ชั้นคือ 5 นาที = 0.083 h

จากสมการจะได้พื้นที่ตัวกรองที่ใช้ คือ $0.88 m^2$

$$\text{ดังนั้นพื้นที่ตัวกรองเพิ่มขึ้น } \frac{0.88m^2}{1.44 \times 10^{-3} m^2} = 611 \text{ เท่า}$$

อัตราการไหลของสายป้อนคือ $36 L/h \times 611 = 21996 L/hr = 366.6 L/min$

ดังนั้นสามารถสรุปได้ว่า

วิธีที่ 3 น้ำยางสดถูกส่งเข้าบ่อพักน้ำยางสด ให้ผ่านเข้าเครื่องกรองชนิดเยื่อแผ่นหมุนได้ซึ่งมีพื้นที่ตัวกรอง 0.88 ตารางเมตร โดยใช้กระบวนการไดอะฟิลเตอร์ชั้น ด้วยอัตราการไหลของสายป้อน

366.6 ลิตรต่อนาที ความเร็วของเยื่อแผ่นเท่ากับ 1200 รอบต่อนาที ความดันครัวมายื่อแผ่น 0.3

บาร์ แล้วเข้าเครื่องเซนติริฟิวส์ ด้วยอัตราการไหลของสายป้อน 5.2 กิโลกรัม/นาที

ดังนั้นเวลารวมตลอดกระบวนการ คือ 4 ชั่วโมง 5 นาที ได้น้ำยางขั้น 312 กิโลกรัม

อัตราการเกิดผลิตภัณฑ์ คือ 1.27 กิโลกรัมต่อนาทีต่อเซนติริฟิวส์ 1 เครื่อง

ภาคผนวก ๔

ตัวอย่างการคำนวณ

ส่วนที่ 1 การใช้สารเคมี DAHP ในการตัดก้อนแมgnีเซียม
ตัวกวนแบบใหม่(High efficiency impeller) ที่ความเร็วรอบ 50 rpm เวลา 40นาที
กำหนดให้
หาปริมาณแมgnีเซียม剩ิมตัน

กำหนดให้ น้ำยางสดมี %TSC เริ่มต้น 31.54 %

ความเข้มข้นของสารละลาย EDTA (N) = 0.0049 mol/L

ปริมาณของสารละลาย EDTA ที่ใช้ (V) = 5 ml

น้ำหนักน้ำยางตัวอย่าง (W) = 3.19 g

จากภาคผนวก ก สมการที่ (3)

$$\text{ปริมาณของ Mg}^{2+} \text{ ต่อน้ำหนักของ TSC (ppm)} = \frac{(N \times V) \times 24.31 \times 100,000}{W \times (\%TSC)}$$

แทนค่าในสมการจะได้

$$\begin{aligned} \text{ปริมาณของ Mg}^{2+} \text{ เริ่มต้น} &= \frac{(0.0049 \times 5) \times 24.31 \times 100,000}{3.19 \times 31.54} \\ &= 591.97 \text{ ppm} \end{aligned}$$

หาปริมาณ DAHP ที่เติม

จากภาคผนวก ก สมการที่ (4)

$$\text{ปริมาณ DAHP ที่เติม} = 0.02716 \times (X - 170) \times W_T$$

X = ปริมาณของ Mg²⁺ เริ่มต้น

W_T = น้ำหนักน้ำยางสดที่ใช้ (ตัน) กำหนดให้ 0.012 ตัน

แทนค่าในสมการจะได้

$$\begin{aligned} \text{ปริมาณ DAHP ที่เติม} &= 0.02716 \times (591.97 - 170) \times 0.012 \\ &= 0.1375 \text{ Kg} \end{aligned}$$

หาปริมาณแมgnีเซียมที่เหลืออยู่

ที่ความเร็วรอบ 50 rpm เวลา 40 นาที

จากการได้เตรทหาจุดต้องใช้สารละลาย EDTA = 0.3 ml

น้ำหนักน้ำยางตัวอย่าง (W) = 3.34 g

จากภาคผนวก ก สมการที่ (3)

$$\text{ปริมาณของ Mg}^{2+} \text{ ที่เหลืออยู่} = \frac{(0.0049 \times 0.3) \times 24.31 \times 100,000}{3.34 \times 31.54} \\ = 33.92 \text{ ppm}$$

หาปริมาณสลัดจ์ที่เกิดขึ้น

จากภาคผนวก ก สมการที่ (5)

$$\text{ปริมาณสลัดจ์(ppm)} = (\text{น้ำหนักสลัดจ์ที่อบแห้งแล้ว} / \text{น้ำหนักน้ำยางตัวอย่าง}) \times 1000000$$

$$\text{น้ำหนักสลัดจ์ที่อบแห้งแล้ว} = 0.2308 \text{ g}$$

$$\text{น้ำหนักน้ำยางตัวอย่าง} = 50.72 \text{ g}$$

แทนค่า จะได้

$$\text{ปริมาณสลัดจ์(ppm)} = (0.2308 / 50.72) \times 1000000$$

$$= 4,550.47 \text{ ppm}$$

ส่วนที่ 2 การใช้กระบวนการไดอะฟิลเตอร์ชันร่วมกับการกรองชนิดเยื่อแผ่นหมุนได้

ที่ภาชนะกรอง ที่ความเร็วรอบเยื่อแผ่น 1200 รอบต่อนาที ความดันคร่อมเยื่อแผ่น 0.3 บาร์ อัตราการไหลของสายป้อน 36 ลิตรต่อชั่วโมง และระยะห่างระหว่างผิวน้ำของเยื่อแผ่นกับผนังด้านในของทรงกระบอกชั้นนอก 0.008 เมตร กำหนดให้

ความหนืดของน้ำยา	=12	เซนติพอยส์
ความหนาแน่นของน้ำยา	=980	กิโลกรัมต่อลูกบาศก์เมตร
รัศมีของเยื่อแผ่น(R_1)	=0.026	เมตร
รัศมีของทรงกระบอกชั้นนอก(R_2)	=0.034	เมตร

ระยะห่างระหว่างผิวน้ำของเยื่อแผ่นกับผนังด้านในของทรงกระบอกชั้นนอก(d) = $R_2 - R_1$

$$= 0.008 \text{ เมตร}$$

ความเร็วรอบเยื่อแผ่น(N) = 1200 รอบต่อนาที

อัตราการไหลของสายป้อน(Q) = 36 ลิตรต่อชั่วโมง

พื้นที่การกรอง(A) = 1.44×10^{-3} ตารางเมตร

2. ค่าความต้านทาน จากสมการ

$$J = \frac{\Delta P_{TM}}{\mu R_t}$$

$$R_t = R_m + R_c + R_i$$

ความดันคร่อมเยื่อแผ่น	= 0.3	บาร์
ความหนืดของน้ำ 1 เซนติพอยล์	= 1×10^{-3}	กิโลกรัม/เมตร.วินาที
เพอร์มเอกซ์ฟลักก์ก่ออนขุดเด็ก (R_t)	= 833.33	ลิตร/ตารางเมตร.ชั่วโมง
เพอร์มเอกซ์ฟลักก์หลังขุดเด็ก (R_{mi})	= 1666.67	ลิตร/ตารางเมตร.ชั่วโมง

แทนค่าที่กำหนดให้ตามสมการ

$$\begin{aligned} \text{ความต้านทานก่อนทำการขุดเด็ก} \\ R_t &= \frac{\Delta P_{TM}}{\mu J} \\ R_t &= \frac{0.3 \times 10^5 \times 1000 \times 3600}{833.33 \times 1 \times 10^{-3}} \end{aligned}$$

$$R_t = 1.3 \times 10^{11} \text{ 1/m}$$

$$\begin{aligned} \text{ความต้านทานหลังทำการขุดเด็ก} \\ R_{mi} &= \frac{\Delta P_{TM}}{\mu J} \\ R_{mi} &= \frac{0.3 \times 10^5 \times 1000 \times 3600}{1666.67 \times 1 \times 10^{-3}} \end{aligned}$$

$$R_{mi} = 0.65 \times 10^{11} \text{ 1/m}$$

$$\text{โดย } R_{mi} = R_m + R_i$$

$$(R_m = 0.12 \times 10^{11} \text{ 1/m})$$

$$R_i = R_{mi} - R_m$$

$$R_i = 0.65 \times 10^{11} - 0.12 \times 10^{11}$$

$$R_i = 0.53 \times 10^{11} \text{ 1/m}$$

จากสมการ

$$R_t = R_m + R_c + R_i$$

$$R_c = 0.65 \times 10^{11} \text{ 1/m}$$

สามารถสรุปได้ว่า

$$R_t = 1.3 \times 10^{11} \text{ 1/m}$$

$$R_m = 0.12 \times 10^{11} \text{ 1/m}$$

$$R_c = 0.65 \times 10^{11} \text{ 1/m}$$

$$R_i = 0.53 \times 10^{11} \text{ 1/m}$$

ภาคผนวก ๔

บทความที่ได้รับการตีพิมพ์

International conference

Arnop Meesupree, Lim Chin Hock and Chirakarn Muangnapoh, "Sludge Formation and Removal in Concentrated Latex Industry", 16 th Asean Regional Symposium on Chemical Engineering, December 1-2, 2009 Manila Hotel, Manila, Philippines.

PROCEEDINGS

16th ASEAN Regional Symposium on Chemical Engineering

“Chemical Engineering at the
forefront of Global Challenges”

December 1-2, 2009
Manila Hotel
Manila, Philippines

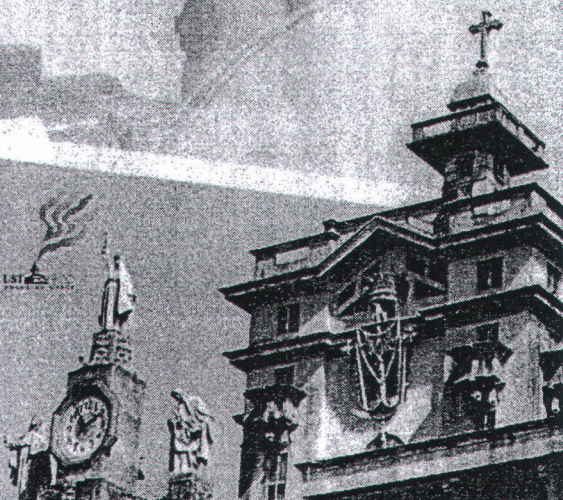
Organized by:



Pontifical and Royal
UNIVERSITY OF SANTO TOMAS
The Catholic University of the Philippines



In cooperation with:



Sludge Formation and Removal in Concentrated Latex Industry

Arnop Meesupree^{1*}, Lim Chin Hock² and Chirakarn Muangnapoh¹

¹Department of Chemical Engineering, Faculty of Engineering, Chulalongkorn University, Bangkok 10330, Thailand ²Thai Rubber Latex Corporation (Thailand) Public Company Limited 29 Moo 2 Banbung-Klang Road, Nongyai District, Chonburi 20190

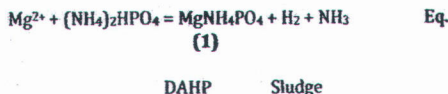
*E-mail: nueng_engineer@hotmail.com

ABSTRACT: Fresh natural rubber is major raw material of concentrating process of natural rubber latex by centrifugation. High magnesium content in fresh natural rubber has an impact to the quality of concentrated latex. Therefore, it is necessary to remove some amount of magnesium from fresh natural rubber by reacting with Diammonium hydrogen phosphate (DAHP) resulting in sludge formation. The aim of this research is to investigate the suitable condition of DAHP consumption and sludge formation. On the other hand, this should improve energy consumption of centrifuge in sludge removal process. In this study, high-efficiency impeller regarding to both axial and radial mixing has been carried out in 12 kilograms of fresh natural rubber in a rectangular model mixing tank. Firstly, two parameters; impeller speeds (30, 40, 50 and 60 rpm) and mixing times (5, 10, 20, 30 and 40 minute) were investigated. The experimental results show that low residual magnesium concentration in fresh rubber was observed at high impeller speed. At each mixing speed, the more mixing time was proceeded the less residual magnesium concentration in fresh rubber was also observed. Moreover, we found that the stability of rubber particle is still good at the whole range of the experiments. In conclusion, at 50 rpm and 40 minute gave the lowest residual magnesium concentration (35 ppm) comparing to the factory did (120 ppm) in non-well mixed rectangular tank. It can be concluded that a half of DAHP consumption could be reduced in order to maintain magnesium concentration at 120 ppm (factory specification). Moreover, higher speed promotes bigger sludge size which leads to increase two times centrifuge efficiency.

Keywords: natural rubber, magnesium removal, DAHP, sludge, rubber latex

INTRODUCTION

Natural rubber (NR) produced from rubber tree *Hevea Brasiliensis* is one of the major exportation product of Thailand (Blackdey et al., 1997). Fresh natural rubber latex composes of 30-40% rubber fraction and non-rubber content called serum such as protein, mineral ions and water (Kovuttkulrangsie, S., 2004). Mineral ions such as high magnesium content in fresh natural rubber has an impact to the quality of concentrated latex, therefore, in the first stage, it is necessary to remove some amount of magnesium from fresh natural rubber by reacting with Diammonium hydrogen phosphate (DAHP) resulting in sludge formation. The reaction between magnesium ions and DAHP solution as shown in Eq. (1) is taken place in rectangular pond. After sludge sedimentation in the pond, the concentrated latex is traditionally produced using centrifuge.



Huge energy and washing water consumption in centrifugal operation due to the frequently sludge clogging is challenged to solve this problems (Thai Rubber Latex Corporation (Thailand) Public Company Limited). From mass balance around centrifuge, we found that sludge formation is prolonged in centrifuge due to the incomplete reaction of DAHP in the non-well mixing pond. Therefore, high-efficiency impeller regarding to both axial and radial mixing has been carried out in order to improve the mixing capability.

The aim of this work is to study the effect of mixing speeds and times on sludge formation using Diammonium hydrogen phosphate (DAHP). On the other hand, this should improve energy consumption of centrifuge in sludge removal process.

MATERIALS AND METHODS

Materials

Batch Reactor Apparatus

A Rectangular shape mixing type reactor with length, width and depth of 40, 28 and 17 cm, respectively was used in this study. The impeller for mixing and cover including the holes for fresh natural rubber sampling are installed at the top. In this study, high-efficiency impeller regarding to both axial and radial mixing has been used. Figure 1. shows the batch reactor apparatus.

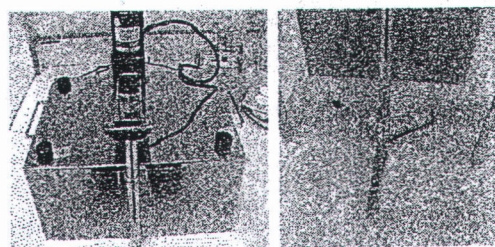


Figure 1. Batch Reactor Apparatus

Fresh natural rubber was kindly obtained from Thai Rubber Latex Corporation (THAILAND) PCL. All chemicals such as Diammonium hydrogenphosphate (DAHP), ammonia solution, ethanol, magnesium sulfate ($\text{MgSO}_4 \cdot 7\text{H}_2\text{O}$) commercial grade were purchased from Aldrich.

Methods

12 kilograms of fresh natural rubber was carried out in the rectangular model mixing tank at the room temperature. After that an amount of DAHP calculated from Eq. (2) was added into the tank.

Sludge Formation and Removal....

3Pro-DOIPC18

$$\text{Amount of DAHP} = 0.02716 \times (X - 170) \times W_T \quad [2]$$

where:

- X is amount of initial magnesium per initial TSC (total solid content) (ppm)
 W_T is weight of total fresh natural rubber used (kg)

The mixture was stirred at the impeller speed of 30, 40, 50 and 60 rpm. The samples were drawn out at three different positions in order to determine the uniformity of residual magnesium concentration in the pond. Consequently, all taken samples were analyzed for residual magnesium concentration Eq. (3) and formed sludge Eq. (4) at the mixing times of 5, 10, 20, 30 and 40 minute, respectively. The stability of rubber particle was also determined.

$$\begin{aligned} \text{Magnesium concentration (ppm)} &= \\ &\frac{(N \times V) \times 24.31 \times 100,000}{W \times (\%TSC)} \quad [3] \end{aligned}$$

where:

- N is concentration of EDTA (mol/l); V is volume of EDTA used (ml); W is weight of the sample (g); %TSC is percent by mass of Total solid content in fresh natural rubber

$$\text{Sludge concentration (ppm)} = \frac{\text{weight of dry sludge}}{\text{weight of the sample}} \times 1,000,000 \quad [4]$$

Particle size of sludge is measured using LS Particle Size Analyzer (The Beckman Coulter LS 13 320 Series).

RESULTS AND DISCUSSION**Effect of mixing speed and mixing time on residual magnesium and sludge concentration**

The experimental results show the residual magnesium concentration (Figure 2.) and sludge concentration (Figure 3.) in fresh rubber at impeller speed 30, 40, 50 and 60 rpm when mixing times was proceeded. At each of mixing times and mixing speeds, the distribution of the residual magnesium concentration at the first and the third positions (tank curb) are higher than the magnesium concentration on the second position (the middle of the tank) owing to the use of non-well mixed rectangular tank (factory type) (data not shown). In addition, low residual magnesium concentration (Sastry, C.A., et al., 2000) in fresh rubber was observed at high impeller speed. At each mixing speed, the more mixing time was proceeded the less residual magnesium concentration in fresh rubber was also observed. Regarding to the sludge formation at each mixing speed during the reaction proceeded, it was found that the highest sludge concentration is at 50 rpm. It is in line with the result of the lowest residual magnesium concentration at 50 rpm.

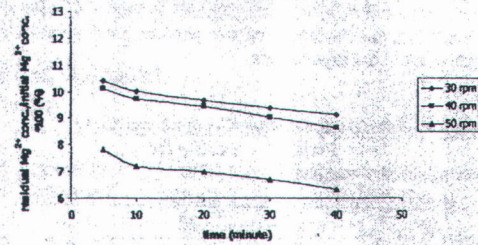


Figure 2. Effect of mixing speeds and mixing times on ratio of $C_{\text{Mg}^{2+}}^{\text{residual}} / C_{\text{Mg}^{2+}}^{\text{reacted}}$

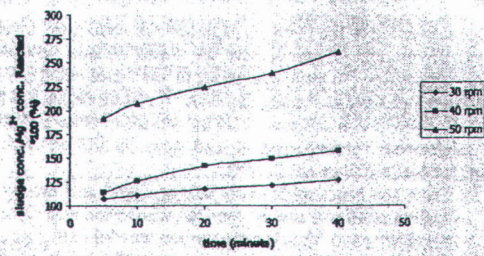


Figure 3. Effect of mixing speeds and mixing times on ratio of $C_{\text{sludge}} / C_{\text{Mg}^{2+}}^{\text{reacted}}$

Effect of mixing time and mixing speed on sludge particle size

The particle sizes of sludge were analyzed to support the formation of sludge at different times and speeds. Table 1 and Table 2 illustrate the bigger sludge particle size was observed whereas times and speeds were increased. To compare the sludge formation from fresh natural rubber and magnesium solution, it is interestingly finding that rubber colloid particle might adhere to the sludge to form bigger size. These finding will lead to modify the method of sludge removal in the future.

Table 1. Effects of mixing times on sludge particle size at 30 rpm

time(min)	mean particle size(micron)
5	1.778
20	5.319
40	10.39

Table 2. Effects of mixing speeds on sludge particle size at 40 minute

mixing speed(rpm)	mean of the particle size(micron)
30	10.39
50	11.62
50(control) ^a	10.45

* magnesium solution

Sludge Formation and Removal....

Moreover, it is necessary to investigate the stability of fresh natural rubber at different mixing speeds. As shown in Table 3, it is found that the stability of rubber particle is still good at the whole range of the experiments.

Table 3. Mechanical stability time of fresh natural rubber

Mixing speed (rpm)	Initial stability(m in)	Stability for 8 hr (min)	Different time(min)
30	1.46	1.28	0.18
40	1.35	1.09	0.26
50	1.48	1.18	0.30
60	1.46	1.02	0.44

Regarding to the previous experimental results, the condition at 50 rpm and 40 minute gave the lowest residual magnesium concentration (35 ppm) comparing to the factory did (120 ppm) in non-well mixed rectangular tank. It can be concluded that a half of DAHP consumption could be reduced in order to maintain magnesium concentration at 120 ppm (according to factory specification) (data not shown).

From the best condition of mixing speed and mixing time operation at 40 min and 50 rpm, the suspension was allowed to settle in the pond. Then the top portion was fed to the centrifuge in order to study the energy consumption. The result shows that energy consumption at new condition gave energy consumption two times less than the factory did.

CONCLUSIONS AND RECOMMENDATIONS

From the experimental results, it can be concluded and recommended as follows:

1. The residual magnesium concentration in the solution decreased when the time and mixing speed were increased.
2. In case of sludge formation, the increasing of time and mixing speed promote the higher sludge concentration with bigger particle size. The suitable condition was at 50 rpm and 40 minute which gave lower residual

magnesium concentration (35 ppm) than the factory did (120 ppm). A half of DAHP consumption could be reduced in order to maintain magnesium concentration at 120 ppm (factory specification). Moreover, the higher speed promotes bigger sludge size which leads to increase two times centrifuge efficiency.

3. The factory method of sludge removal should be modified i.e. by using filtration process. However, one should be careful on the viscosity and stability of fresh natural rubber.

ACKNOWLEDGEMENTS

Special thanks for Mr. Montri Jirathamawong, Factory manager (Thai Rubber Latex Corporation (Thailand) Public Company Limited.) for the supply of skim latex as raw material. This work was financially supported by the Thailand Research Fund Master Research Grants (TRF-MAG) under grant number MRG-OSMEP505E017.

REFERENCES

- Blackley, D.C. (1997). Polymer latexes: Science and technology. (2nd Ed.). New York: Chapman & Hall.
 Kovutikulrangsi, S. (2004). Natural Rubber Productions, Faculty of Science and Technology, Prince of Songkla University.
 Sastry, C.A., Agamuthu P. and Subbiah R.M., Remove of zinc from rubber thread manufacturing industry wastewater using chemical precipitant/flocculant. Environmental Progress (Vol.19, No.4), winter 2000, Kuala Lumpur, Malaysia, 299-304.
 Thai Rubber Latex Corporation (Thailand) Public Company Limited. Manual of Natural Rubber and Sludge formation.
<http://www.jenntech.com/elements-and-water/magnesium-and-water.htm>
<http://www.thaltexgroup.com>
<http://blog.tourismthailand.org/EugeneTang/?p=3493>



Mr. Arnon Meesupree was born on 20 October, 1985. Now he is Master student at Department of Chemical Engineering, Faculty of Engineering, Chulalongkorn University, Bangkok, Thailand.

ประวัติผู้เขียนวิทยานิพนธ์

นายอานพ มีสุปรีดี เกิดวันที่ 20 ตุลาคม 2528 จังหวัดสงขลา ศึกษาระดับชั้นมัธยมศึกษาตอนต้นและตอนปลายที่โรงเรียนมหาชีราุฐจังหวัดสงขลา สำเร็จการศึกษาปริญญาวิศวกรรมศาสตรบัณฑิต สาขาวิชาเคมี คณะวิศวกรรมศาสตร์ มหาวิทยาลัยสงขลานครินทร์ ในปี การศึกษา 2550 และศึกษาต่อในหลักสูตรวิศวกรรมศาสตรบัณฑิต สาขาวิชาเคมี จุฬาลงกรณ์มหาวิทยาลัย เมื่อปีการศึกษา 2551



